



UNIVERSITAS INDONESIA

**APLIKASI ALGORITMA RIVEST CODE 6 DALAM
PENGAMANAN CITRA DIGITAL**

SKRIPSI

**ANISAH MUHARINI
0806315300**

**FAKULTAS MATEMATIKA DAN ILMU PENGETAHUAN ALAM
PROGRAM STUDI SARJANA MATEMATIKA
DEPOK
JULI 2012**



UNIVERSITAS INDONESIA

**APLIKASI ALGORITMA RIVEST CODE 6 DALAM
PENGAMANAN CITRA DIGITAL**

SKRIPSI

Diajukan sebagai salah satu syarat untuk memperoleh gelar sarjana sains

**ANISAH MUHARINI
0806315300**

**FAKULTAS MATEMATIKA DAN ILMU PENGETAHUAN ALAM
PROGRAM STUDI SARJANA MATEMATIKA
DEPOK
JULI 2012**

HALAMAN PERNYATAAN ORISINALITAS

Skripsi ini adalah hasil karya sendiri,
dan semua sumber baik yang dikutip maupun dirujuk
telah saya nyatakan dengan benar.

Nama : Anisah Muharini

NPM : 0806315300

Tanda Tangan : 

Tanggal : Juli 2012

HALAMAN PENGESAHAN

Skripsi ini diajukan oleh

Nama : Anisah Muharini
NPM : 0806315300
Program Studi : Matematika
Judul Skripsi : Aplikasi Algoritma Rivest Code 6 dalam
Pengamanan Citra Digital

Telah berhasil dipertahankan di hadapan Dewan Penguji dan diterima sebagai bagian persyaratan yang diperlukan untuk memperoleh gelar Sarjana Sains pada Program Studi S1 Matematika, Fakultas Matematika dan Ilmu Pengetahuan Alam Universitas Indonesia

DEWAN PENGUJI

| | | |
|-------------|------------------------------------|---|
| Pembimbing | : Drs. Suryadi MT, M.T. | () |
| Penguji I | : Dr. Al Haji Akbar, M.Sc | () |
| Penguji II | : Dr. Yudi Satria, M.T. | () |
| Penguji III | : Dr. rer. nat Hendri Murfi, M.Kom | () |

Ditetapkan di : Depok
Tanggal : 19 Juni 2012

KATA PENGANTAR

Segala puji dan syukur penulis haturkan kepada Allah SWT atas segala rahmat, petunjuk, dan karunia-Nya. Shalawat dan salam semoga senantiasa tercurah kepada pemimpin umat manusia, Nabi Muhammad SAW, beserta para sahabatnya, yang merupakan kumpulan orang - orang terbaik sepanjang masa.

Alam menggemakan siluet kehidupan, langit terus menyibakkan rahasianya, dan rasa syukur pun tak pernah terhenti akan selesainya skripsi ini. Penulisan skripsi ini disusun sebagai salah satu syarat dalam kelulusan program sarjana strata satu Jurusan Matematika Fakultas Matematika dan Ilmu Pengetahuan Alam.

Dalam penyelesaian skripsi ini, penulis menyadari akan banyaknya kesulitan yang menghadang, namun berkat bimbingan dan dorongan dari berbagai pihak, akhirnya skripsi ini dapat diselesaikan. Oleh karena itu, pada kesempatan ini, penulis ingin menyampaikan terima kasih yang sedalam-dalamnya kepada:

1. Bapak Dr. Yudi Satria, M.T. selaku Ketua Departemen Matematika, Ibu Rahmi Rusin, S.Si., M.ScTech. selaku Sekretaris Departemen Matematika, Ibu Mila Novita selaku Koordinator Kemahasiswaan, dan Ibu Dr. Dian Lestari selaku Koordinator Pendidikan yang telah membantu penulis selama penulis menjalani kuliah di Matematika UI.
2. Bapak Drs. Suryadi MT, M.T., selaku dosen pembimbing yang senantiasa memberikan waktu, tenaga, dan pikiran untuk mengarahkan penulis dengan sabar selama proses penyusunan skripsi ini hingga selesai.
3. Ibu Dr. Sri Mardiyati, M.Kom selaku Pembimbing Akademis penulis yang memberikan motivasi dan dukungan kepada penulis dalam hal apapun.
4. Bapak Dr. Al Haji Akbar, M.Sc., Bapak Dr. Yudi Satria, M.T., dan Bapak Dr. rer. nat Hendri Murfi, M.Kom selaku penguji kolokium penulis yang bersedia meluangkan waktunya, memberi kritik, saran, serta ilmu yang bermanfaat.

5. Ibu dan Bapak tercinta yang selalu memberikan do'a, perhatian, semangat dan nasehat baik secara moril, materil dan spiritual yang tiada ternilai harganya sehingga penulis bisa menyelesaikan penyusunan skripsi ini.
6. Seluruh dosen dan karyawan Departemen Matematika FMIPA UI yang tanpa mengurangi rasa hormat tidak dapat disebutkan satu per satu telah berbagi ilmu dan membimbing selama penulis mengikuti perkuliahan.
7. Muhammad Faruq Iskandar selaku belahan jiwa penulis yang senantiasa memberikan dukungan berupa doa, saran, kritik, semangat dan sangat membantu dalam proses kelancaran penyelesaian skripsi ini.
8. Kakak-kakak penulis Uda Darlis (alm), Uni, One, Ayang, Ajo Eri, dan Ajo Adi yang senantiasa mendoakan kelancaran skripsi penulis serta keponakan-keponakan penulis Salman, Farid, Ayyasy, Subhan, Aisyah, Faizah, Syahidah, Mufida, Syifa, Zidan, Nia, Syamil, Chiesa, Yasmin dan Zahid yang telah memberikan canda tawanya kepada penulis.
9. Teman-teman 2008: seperjuangan penulis Dhila, Aci, dan Maul yang telah berbagi tawa dan tangis, demi tersusunnya skripsi ini juga teman-teman yang sedia membagi ilmunya Bang Andy, Umbu, Adhi, dan Maimun serta teman yang banyak menghabiskan waktu bersama selama masa kuliah penulis sehingga penulis tegar dalam menjalani masa sulit dari awal kuliah sampai terusunnya tugas akhir ini Siwi, Ifah, Yulial, Tuti '*skirt&CD*', Fani '*pointer*', Risya, Nita, Olin, Resti, Agnes, Hindun, Icha, Uchi, Mei, Ega, Uci, May, Ines, Dhewe, Wulan, Luthfa, Dian, Citra, Nora, Icha, Numa, Janu, Kohen, Arkies, Cindy, Bowo, Vika, Dhea, Emy, Eka, Arman, Agy, Awe, Arief, Dheni, Sita, Laili, Yulian, Puput, Aya, dan Masykur.

Akhir kata, penulis berharap Allah membalas segala kebaikan semua pihak yang telah membantu dan penulis berdoa semoga apa yang telah dikerjakan ini tidak menjadi hal yang sia-sia dan dapat bermanfaat bagi pengembangan ilmu dan bagi siapapun yang membacanya.

Penulis
2012

**HALAMAN PERNYATAAN PERSETUJUAN PUBLIKASI
UNTUK KEPENTINGAN AKADEMIS**

Sebagai sivitas akademik Universitas Indonesia, saya yang bertanda tangan di bawah ini:

Nama : Anisah Muharini
NPM : 0806315300
Program Studi : Sarjana Matematika
Departemen : Matematika
Fakultas : Matematika dan Ilmu Pengetahuan Alam
Jenis karya : Skripsi

demi pengembangan ilmu pengetahuan, menyetujui untuk memberikan kepada Universitas Indonesia Hak Bebas Royalti Noneksklusif (*Non-exclusive Royalty Free Right*) atas karya ilmiah saya yang berjudul :
Aplikasi Algoritma Rivest Code 6 dalam Pengamanan Citra Digital.

beserta perangkat yang ada (jika diperlukan). Dengan Hak Bebas Royalti Noneksklusif ini Universitas Indonesia berhak menyimpan, mengalihmedia/format-kan, mengelola dalam bentuk pangkalan data (database), merawat, dan memublikasikan saya selama tetap mencantumkan nama saya sebagai penulis/pencipta dan sebagai pemilik Hak Cipta.

Demikian pernyataan ini saya buat dengan sebenarnya.

Dibuat di : Depok
Pada tanggal : Juli 2012
Yang menyatakan



(Anisah Muharini)

ABSTRAK

Nama : Anisah Muharini
Program Studi : Matematika
Judul : Aplikasi Algoritma Rivest Code 6 dalam Pengamanan Citra Digital

Usaha perlindungan terhadap citra digital merupakan hal yang penting dan mendesak abad ini, karena dapat memperkecil usaha manipulasi citra digital tersebut untuk hal yang negatif. Usaha tersebut dapat dilakukan dengan penyandian(enkripsi) menggunakan algoritma Rivest Code 6 (RC6), yakni suatu algoritma *block cipher* yang menggunakan kunci simetri. Algoritma RC6 ini dikenal dengan kesederhanaannya juga variasi panjang kunci yang dapat digunakan untuk melakukan enkripsi maupun dekripsi. Oleh karena itu diharapkan sandi(*ciphertext*) dari implementasi program algoritma RC6 ini sulit dipecahkan sehingga citra digital dapat terlindungi dengan baik.

Kata Kunci : Algoritma RC6, Citra Digital, Enkripsi, Dekripsi
xii + 64 halaman : 23 gambar, 15 tabel
Daftar Pustaka : 15 (1995 - 2011)

ABSTRACT

Name : Anisah Muharini
Study Program : Mathematics
Title : Application of Rivest Code 6 Algorithm on Securing Digital Image

Efforts in securing digital image is something that important and urgent today because it can reduce risk of digital image manipulation. These efforts can be done with an encryption using Rivest Code 6 algorithm, a block cipher algorithm which use symmetric key. This Algorithm recognized by its simplicity. With RC6, user can choose the length of key that will be used for encryption and decryption. Hope that ciphertext from implementation of this algorithm can be well protected from any manipulation.

Keywords : Rivest Code 6 Algorithm, Digital Image, Encryption, Decryption.
xii + 64 pages : 23 pictures, 15 tables
Bibliography : 15 (1995 - 2011)

DAFTAR ISI

| | |
|---|-----------|
| HALAMAN JUDUL..... | ii |
| LEMBAR ORISINALITAS | iii |
| KATA PENGANTAR | v |
| LEMBAR PERSETUJUAN PUBLIKASI KARYA ILMIAH..... | vii |
| ABSTRAK..... | viii |
| DAFTAR ISI..... | x |
| DAFTAR GAMBAR | xi |
| DAFTAR TABEL..... | xii |
| DAFTAR LAMPIRAN..... | xii |
| 1. PENDAHULUAN..... | 1 |
| 1.1 Latar Belakang..... | 1 |
| 1.2 Perumusan Masalah dan Ruang Lingkup Masalah..... | 2 |
| 1.3 Tujuan Penelitian..... | 3 |
| 2. LANDASAN TEORI..... | 4 |
| 2.1 Definisi Citra Digital | 4 |
| 2.2 Konsep Dasar Penyandian | 6 |
| 2.3 Operasi Matematika..... | 8 |
| 2.3.1 Operasi Logika | 9 |
| 2.3.2 Operasi Bit | 11 |
| 2.3.3 Operasi Aritmatika Modular | 13 |
| 2.3.4 Operasi Aritmatika Biner..... | 15 |
| 3. KONSEP ALGORITMA RC6..... | 18 |
| 3.1 Algoritma <i>Key Scheduling</i> | 19 |
| 3.2 Algoritma Enkripsi | 22 |
| 3.3 Algoritma Dekripsi | 25 |
| 4. IMPLEMENTASI ALGORITMA RC6 PADA CITRA DIGITAL | 28 |
| 4.1 <i>Key Scheduling</i> | 28 |
| 4.2 Enkripsi Citra Digital..... | 31 |
| 4.3 Dekripsi Citra Digital | 35 |
| 4.4 Analisa Hasil Pengujian..... | 35 |
| 4.4 Pembangunan Program Aplikasi Algoritma RC6 | 48 |
| 5. KESIMPULAN DAN SARAN | 54 |
| 5.1 Kesimpulan..... | 54 |
| 5.2 Saran | 54 |
| DAFTAR PUSTAKA | 55 |
| LAMPIRAN..... | 57 |

DAFTAR GAMBAR

| | |
|---|----|
| Gambar 1.1 Contoh Manipulasi Citra Digital | 1 |
| Gambar 2.1 Derajat Keabuan | 5 |
| Gambar 2.2 Ilustrasi Operasi <i>Left Shift</i> | 12 |
| Gambar 2.3 Ilustrasi Operasi <i>Right Shift</i> | 13 |
| Gambar 2.4 Operasi Aritmatika Modulo 8 (Stallings, 2005) | 15 |
| Gambar 3. 1 Proses Enkripsi dan Dekripsi Citra Digital Menggunakan Algoritma RC6 | 19 |
| Gambar 3. 2 <i>Flowchart</i> Enkripsi RC 6 | 24 |
| Gambar 3. 3 <i>Flowchart</i> Dekripsi RC6 | 26 |
| | |
| Gambar 4. 1 <i>Plaintext</i> | 31 |
| Gambar 4. 2 <i>Ciphertext</i> | 35 |
| Gambar 4. 3 Grafik Perbandingan <i>Running Time</i> (dalam detik) Algoritma Enkripsi RC6 pada Variasi Panjang Kunci dan Ukuran Citra | 46 |
| Gambar 4. 4 Grafik Perbandingan <i>Running Time</i> (dalam detik) Algoritma Dekripsi RC6 pada Variasi Panjang Kunci dan Ukuran Citra | 47 |
| Gambar 4. 5 Tampilan Program Enkripsi-Dekripsi Citra Digital dengan Algoritma RC6 | 48 |
| Gambar 4. 6 Tampilan Jendela <i>Pick a Picture</i> Enkripsi | 48 |
| Gambar 4. 7 Tampilan <i>Plaintext</i> yang akan dienkripsi pada Program | 49 |
| Gambar 4. 8 Pengetikan Nama <i>File</i> dari <i>Ciphertext</i> yang akan didapat dari proses Enkripsi | 49 |
| Gambar 4. 9 Tampilan Program sesaat setelah Enkripsi | 50 |
| Gambar 4. 10 Tampilan Jendela <i>Pick a picture</i> Dekripsi | 50 |
| Gambar 4. 11 Tampilan <i>Ciphertext</i> yang akan dienkripsi | 51 |
| Gambar 4. 12 Pengetikan Nama <i>File</i> dari <i>Plaintext</i> yang akan didapat dari Dekripsi | 51 |
| Gambar 4. 13 Tampilan program saat siap melakukan dekripsi | 52 |
| Gambar 4. 14 Tampilan Program sesaat setelah Dekripsi | 52 |
| Gambar 4. 15 Tampilan Program saat Kunci Dekripsi tidak sama dengan Kunci Enkripsi | 53 |

DAFTAR TABEL

| | |
|--|----|
| Tabel 2.1 Nilai Kebenaran Operator Konjungsi (\wedge) | 9 |
| Tabel 2.2 Nilai Kebenaran Operator Disjungsi (\vee)..... | 10 |
| Tabel 2.3 Nilai Kebenaran Operator Eksklusif Or (\oplus) | 10 |
| Tabel 2.4 Nilai Kebenaran Operator Implikasi (\rightarrow)..... | 11 |
| Tabel 2.5 Nilai Kebenaran Operator Biimplikasi (\leftrightarrow)..... | 11 |
| Tabel 2.6 Nilai Kebenaran Operator <i>AND</i> , <i>OR</i> , dan <i>XOR</i> | 12 |
| | |
| Tabel 3. 1 Penempatan kunci yang dimasukkan oleh pengguna pada <i>array L</i> | 20 |
| Tabel 3. 2 <i>Magic Constant</i> (Wisnu, 2010)..... | 21 |
| | |
| Tabel 4. 1 Kunci Inisialisasi..... | 28 |
| Tabel 4. 2 Kunci Ronde | 30 |
| Tabel 4. 3 Penempatan Blok Data <i>Plaintext</i> pada keempat Register..... | 32 |
| Tabel 4. 4 Waktu Enkripsi (detik) pada Citra dengan Variasi <i>Input</i> Kunci, Panjang Kunci <i>b</i> , dan Ukuran Citra | 37 |
| Tabel 4. 5 Waktu Dekripsi (detik) pada Citra dengan Variasi <i>Input</i> Kunci, Panjang Kunci <i>b</i> , dan Ukuran Citra | 42 |
| Tabel 4. 6 Probabilitas Serangan <i>Input</i> Kunci | 47 |

DAFTAR LAMPIRAN

| | |
|---|----|
| Lampiran 1 Pembuktian Teorema 2.1 (Herstein, 1995)..... | 57 |
| Lampiran 2 Pembuktian Lemmma 2.1 (Herstein, 1995)..... | 58 |
| Lampiran 3 Pembuktian Teorema 2.2 (Herstein, 1995)..... | 58 |
| Lampiran 4 Pembuktian Teorema 2.4 (Stallings, 2005) | 59 |
| Lampiran 5 Beberapa potongan <i>source code</i> program | 60 |

BAB 1 PENDAHULUAN

1.1 Latar Belakang

Perkembangan teknologi informasi dan komunikasi saat ini memudahkan manusia untuk mengakses berbagai sumber data/informasi dari berbagai belahan dunia. Penyajian dan penyimpanan informasi atau data kini dapat disimpan dalam format digital dan memiliki beragam bentuk seperti teks, citra, audio, video, dan multimedia. Akhir-akhir ini, semakin banyak muncul berbagai *software* untuk mengedit dan memodifikasi citra digital dengan mudah, bahkan kalangan awampun bisa menggunakannya. Hasil modifikasi mereka pun tidak sedikit yang bernada negatif, baik untuk membuat fitnah, pencitraan buruk seseorang atau sekelompok orang dan berbagai maksud lainnya (Lihat Gambar 1.1).



Gambar 1.1 Contoh Manipulasi Citra Digital

Hal ini tentunya akan mengganggu para pemilik data, dan juga pihak yang ingin berkomunikasi dalam rangka bertukar informasi baik kepentingan pribadi maupun kelompok. Sehingga dapat dikatakan bahwa perlindungan orisinalitas suatu data atau informasi menjadi kebutuhan yang penting dan mendesak saat ini. Untuk itu diperlukan usaha pengamanan data tersebut supaya keaslian dan kerahasiannya bisa terjaga.

Usaha perlindungan data dapat dilakukan dengan berbagai cara, salah satunya dengan mengaplikasikan bidang kriptografi. Usaha pengamanan dalam kriptografi bisa dilakukan dengan mengenkripsi data citra digital tersebut ke dalam bentuk data lain yang tidak bisa dikenali (*ciphertext*). Untuk mengembalikan *ciphertext* menjadi seperti data semula (*plaintext*), dapat dilakukan dengan mendekripsi *ciphertext* yakni dengan menggunakan algoritma kebalikan atau invers pada *ciphertext* tersebut.

Keamanan algoritma *Data Encryption Standard* (DES) telah berhasil ditembus oleh suatu *software* pada akhir tahun 90-an dalam beberapa jam (Tilborg, 2011). Guna mengatasi hal itu, pada tahun 2000, muncul beberapa algoritma enkripsi alternatif yang bersaing untuk menjadi standar algoritma enkripsi baru yang dikenal dengan istilah *Advanced Encryption Standard* (AES). Kandidat AES adalah algoritma Rijndael, Serpent, Twofish, RC6, dan Mars. Namun, pada akhirnya algoritma Rijndael lah yang terpilih sebagai AES. Walaupun begitu, keempat kandidat lainnya juga merupakan algoritma hebat yang tak lepas dari kelebihan dan kekurangan.

Algoritma RC6 menawarkan kesederhanaan dan fleksibilitas sehingga keamanan algoritma RC6 lebih baik dari algoritma Rijndael (Contini, 1998). Kesederhanaan algoritma ini dapat dilihat dari operasi-operasi matematika dasar yang terdapat pada algoritma RC6 ini seperti penjumlahan, pengurangan, dan XOR. Sedangkan fleksibilitas algoritma ini dapat dilihat dari 3 parameter yang siap diubah oleh pengguna. Ketiga parameter yang siap diubah tersebut adalah panjang blok yang diolah atau ukuran register w dalam bit, banyak iterasi r , dan panjang kunci b sehingga citra digital dapat diamankan lebih baik atas adanya variasi parameter yang ditawarkan. Untuk itu, algoritma yang akan dibahas dalam skripsi ini adalah algoritma Rivest Code 6 (RC6) dan direpresentasikan ke dalam perlindungan data citra digital.

1.2 Perumusan Masalah dan Ruang Lingkup Masalah

Perumusan masalah dalam tugas akhir ini adalah sebagai berikut:

a) Bagaimana konsep algoritma RC6 secara umum?

Universitas Indonesia

- b) Bagaimana menerapkan algoritma RC6 dalam melindungi data citra digital?
- c) Bagaimana membangun program aplikasi algoritma RC6 dalam implementasinya terhadap pengamanan citra digital?

Ruang Lingkup dalam tugas akhir ini adalah sebagai berikut:

- a) Implementasi algoritma RC6 pada citra digital *grayscale*
- b) Algoritma RC6 yang dipakai adalah algoritma RC6 dengan panjang blok yang diolah (ukuran register) $w = 32$ bit, banyak iterasi $r = 20$, dan panjang kunci $b = 16, 24, \text{ dan } 32$ byte
- c) *Software* yang dipakai dalam implementasi algoritma RC6 adalah Matlab

1.3 Tujuan Penelitian

Tujuan dari penulisan skripsi ini adalah sebagai berikut:

- a) Menjelaskan gambaran umum mengenai algoritma RC6
- b) Mengimplementasikan algoritma RC6 untuk pengamanan data citra digital

BAB 2 LANDASAN TEORI

Bab ini akan membahas definisi citra digital dan konsep dasar penyandian.

2.1 Definisi Citra Digital

Citra (*image*) adalah istilah lain untuk gambar yang merupakan salah satu komponen multimedia dan memegang peranan penting sebagai bentuk informasi visual. Citra mempunyai karakteristik yang tidak dimiliki oleh data berbentuk teks yakni kaya dengan informasi. Ada sebuah peribahasa, *a picture is more than a thousand words*, artinya sebuah gambar dapat memberikan informasi lebih banyak daripada informasi tersebut disajikan dalam bentuk ribuan kata (Munir, 2004).

Citra ada dua macam, yakni citra kontinu dan citra diskrit. Citra kontinu dihasilkan dari sistem optik yang menerima sinyal analog sedangkan citra diskrit dihasilkan melalui proses digitalisasi terhadap citra kontinu.

Citra diskrit disebut juga citra digital yang dapat dinyatakan sebagai suatu fungsi dua dimensi $f(x, y)$ dengan x maupun y merupakan posisi koordinat. Sedangkan f merupakan intensitas cahaya (*brightness*) pada (x, y) . Suatu citra digital dapat dinyatakan dengan persamaan 2.1.

$$f(x, y) = \begin{pmatrix} f(1,1) & f(1,2) & f(1,3) & \dots & f(1,n) \\ f(2,1) & f(2,2) & f(2,3) & \dots & f(2,n) \\ f(3,1) & f(3,2) & f(3,3) & \dots & f(3,n) \\ \vdots & \vdots & \vdots & \ddots & \vdots \\ f(m-1,1) & f(m-1,2) & f(m-1,3) & \dots & f(m-1,n) \\ f(m,1) & f(m,2) & f(m,3) & \dots & f(m,n) \end{pmatrix} \quad (2.1)$$

Dari persamaan 2.1 citra digital dapat dinyatakan sebagai matriks dengan banyak baris matriks/tinggi citra = m dan banyak kolom matriks/lebar citra = n . Indeks baris x dan indeks kolom y menyatakan suatu koordinat titik pada citra, sedangkan $f(x, y)$ merupakan intensitas pada titik (x, y) . Masing-masing elemen matriks tersebut disebut *image element/picture element/pixel*. Jadi, citra yang berukuran $m \times n$ mempunyai mn buah *pixel*.

Suatu citra disimpan dalam bentuk *file* dengan format tertentu. Format citra yang baku di lingkungan sistem operasi Microsoft Windows adalah BMP(*Bitmap*). Saat ini memang format BMP kalah populer dengan format JPG(*Join Photographic Group*) maupun GIF(*Graphics Interchange Format*). Hal ini karena format BMP tidak dimampatkan (dikompres) sehingga ukurannya relatif lebih besar daripada berkas JPG maupun GIF. Hal ini yang menyebabkan format BMP sudah jarang digunakan (Munir, 2004).

Format BMP memang tidak efisien dari segi ukuran, namun format BMP memiliki kelebihan dari segi kualitas gambar. Citra dalam format BMP lebih bagus daripada citra dalam format yang lainnya karena tidak ada informasi yang hilang akibat pemampatan (kompresi) seperti pada format JPG dan GIF. Terjemahan *bitmap* adalah pemetaan bit, artinya nilai intensitas *pixel* dalam citra dipetakan ke sejumlah bit tertentu. Oleh karena itu tugas akhir ini mengamankan citra dalam format BMP.

Salah satu citra dalam format BMP adalah citra hitam putih. Nilai intensitas cahaya f pada gambar hitam putih di titik (x, y) disebut derajat keabuan (*grey level*), sedangkan citranya disebut citra hitam-putih (*grayscale image*). Nilai derajat keabuan terletak pada skala keabuan $[0, L]$, dengan 0 menyatakan hitam dan L menyatakan putih. Citra hitam-putih yang biasa digunakan adalah citra hitam putih dengan 256 level. Citra ini direpresentasikan dalam 8 bit pada tiap *pixel*-nya, sehingga nilai derajat keabuannya ada $2^8 = 256$ level, artinya citra ini mempunyai skala keabuan $[0, 255]$. Derajat keabuan pada citra *grayscale* 256 level dapat dilihat pada Gambar 2.1.



Gambar 2.1 Derajat Keabuan

2.2 Konsep Dasar Penyandian

Kriptografi adalah seni dan ilmu dalam menggunakan matematika untuk mengamankan informasi. Pengamanannya bisa dilakukan dengan mengenkripsi data tersebut ke dalam bentuk data lain yang tidak bisa dikenali (*ciphertext*). Untuk mengembalikan *ciphertext* menjadi data semula (*plaintext*), dapat dilakukan dengan mendekripsi *ciphertext* menggunakan algoritma kebalikan pada *ciphertext* tersebut.

Untuk melakukan enkripsi atau penyandian diperlukan suatu fungsi yang memetakan *plaintext* ke *ciphertext*. Lalu untuk melakukan dekripsi dibutuhkan fungsi invers yang memetakan *ciphertext* kembali menjadi *plaintext*. Persamaan 2.2 dan 2.3 merupakan ilustrasi pemetaan yang dilakukan oleh fungsi enkripsi E dan fungsi invers enkripsi E (fungsi dekripsi $D=E^{-1}$) antara himpunan *plaintext* P dan himpunan *ciphertext* C .

$$E: P \rightarrow C \quad (2.2)$$

$$D: C \rightarrow P \quad (2.3)$$

Fungsi yang digunakan haruslah fungsi yang bijektif karena akan terjamin adanya fungsi invers (lihat Definisi 2.2) sehingga *ciphertext* dapat dikembalikan menjadi *plaintext*. Berikut definisi dan teorema mengenai fungsi bijektif:

Definisi 2.1: (Rosen, 2007)

Fungsi $f: A \rightarrow B$ disebut 1-1 atau injektif $\leftrightarrow f(a) = f(b)$ maka $a = b$, untuk setiap a dan b domain dari f .

Fungsi $f: A \rightarrow B$ disebut *onto* atau surjektif $\leftrightarrow \forall b \in B, \exists a \in A \ni b = f(a)$

Fungsi $f: A \rightarrow B$ disebut bijektif jika f surjektif dan injektif

Definisi 2.2: (Rosen, 2007)

Misalkan f adalah fungsi bijektif dari himpunan A ke himpunan B . Fungsi invers f adalah fungsi yang memetakan $b \in B$ ke elemen tunggal $a \in A \ni f(a) =$

b. Fungsi invers dari f dinotasikan dengan f^{-1} . Oleh karena itu, $f^{-1}(b) = a$ saat $f(a) = b$.

Fungsi bijektif disebut *invertible* karena fungsi invers-nya dapat didefinisikan. Suatu fungsi dikatakan tidak *invertible* jika fungsi tersebut bukan fungsi bijektif, karena fungsi invers dari fungsi tersebut tidak ada (Rosen, 2007).

Teorema 2.1: (Herstein, 1995)

Jika $f: X \rightarrow Y$ adalah fungsi bijektif, maka \exists sebuah fungsi invers $f^{-1}: Y \rightarrow X$ yang juga bijektif

Bukti mengenai Teorema 2.1 dapat dilihat pada Lampiran 1.

Teorema 2.1 mengindikasikan bahwa enkripsi yang merupakan fungsi bijektif mempunyai fungsi invers yang juga bijektif yaitu dekripsi. Selanjutnya, enkripsi dan dekripsi ini bisa merupakan komposisi dari beberapa fungsi. Definisi komposisi fungsi dapat dilihat pada Definisi 2.3.

Definisi 2.3: (Herstein, 1995)

Jika $g: S \rightarrow T$ dan $f: T \rightarrow U$, maka komposisinya $(f \circ g)$ adalah pemetaan $f \circ g: S \rightarrow U$, didefinisikan dengan $(f \circ g)(s) = f(g(s)) \forall s \in S$

Komposisi dari beberapa fungsi bijektif juga merupakan fungsi bijektif, sesuai dengan Lemma 2.1 dan Teorema 2.2.

Lemma 2.1: (Herstein, 1995)

Jika $g: S \rightarrow T$ dan $f: T \rightarrow U$ keduanya merupakan fungsi bijektif maka komposisinya $f \circ g: S \rightarrow U$ juga bijektif

Bukti mengenai Lemma 2.1 dapat dilihat pada Lampiran 2.

Teorema 2.2 (Herstein, 1995)

Jika $g: S \rightarrow T$ dan $f: T \rightarrow U$ fungsi yang bijektif, maka $(f \circ g)^{-1}$ juga fungsi yang bijektif dan $(f \circ g)^{-1} = g^{-1} \circ f^{-1}$

Bukti mengenai Teorema 2.2 dapat dilihat pada Lampiran 3.

Teorema 2.2 menjamin bahwa suatu penyandian yang dilakukan berkali-kali memiliki invers yang merupakan fungsi bijektif pula dan sandi tersebut dapat dikembalikan dengan mendekripsi secara berurutan dari akhir ke awal.

Untuk melakukan enkripsi dengan fungsi bijektif seperti pada persamaan 2.2, dibutuhkan suatu kunci k elemen dari himpunan K , yaitu himpunan karakter yang elemen-elemennya berupa angka, huruf, dan simbol. Maka, fungsi enkripsi E dengan kunci k didefinisikan pada persamaan 2.4.

$$Ek : P \rightarrow C \text{ dengan } k \in K \quad (2.4)$$

Algoritma RC6 merupakan algoritma simetris, yaitu algoritma penyandian yang menggunakan kunci enkripsi sama dengan kunci dekripsi. Sehingga untuk melakukan dekripsi dengan fungsi dekripsi D seperti pada persamaan 2.3 juga digunakan kunci yang sama dengan kunci k pada proses enkripsi, sehingga fungsi dekripsi D sebagaimana pada persamaan 2.5.

$$Dk : C \rightarrow P \text{ dengan } k \in K \quad (2.5)$$

Varian algoritma RC6 sebelumnya, yaitu algoritma RC4 merupakan algoritma yang mengolah data per bit atau *byte* disebut *stream cipher*. Sedangkan algoritma RC6 merupakan algoritma yang mengolah data per blok (barisan dari bit bit yang panjangnya tetap, biasanya 64 bit atau lebih) disebut *block cipher*. Dalam hal ini, RC6 menyandikan blok data sebesar 128 bit sebagai syarat minimum AES.

2.3 Operasi Matematika

Operasi matematika yang akan dijelaskan dalam hal ini adalah mengenai operasi logika, operasi bit, operasi aritmatika modular, dan operasi aritmatika biner.

2.3.1 Operasi Logika

Suatu proposisi adalah suatu pernyataan (*statement*) yang memiliki nilai kebenaran *true* (benar, T) atau *false* (salah, F) tetapi tidak keduanya pada saat dinyatakannya. Dari proposisi-proposisi yang ada dapat dibentuk proposisi baru dengan menggunakan penghubung atau operator logika. Operator logika yang dimaksud dalam hal ini adalah konjungsi (\wedge), disjungsi (\vee), eksklusif or (\oplus), implikasi (\rightarrow), dan biimplikasi (\leftrightarrow), masing-masing didefinisikan sebagai berikut:

Definisi 2.4: (Rosen, 2007)

Jika p dan q adalah proposisi maka “ p dan q ” atau $p \wedge q$ adalah sebuah proposisi pula, yang disebut sebagai konjungsi dari p dan q . Nilai kebenaran dari $p \wedge q$ adalah benar pada saat p dan q keduanya bernilai benar dan salah bila salah satu atau kedua-duanya dari p dan q bernilai salah

Berikut disajikan tabel nilai kebenaran untuk suatu proposisi p dan proposisi q dengan operator konjungsi pada Tabel 2.2.

Tabel 2.1 Nilai Kebenaran Operator Konjungsi (\wedge)

| p | q | $p \wedge q$ |
|-------|-------|--------------|
| Benar | Benar | Benar |
| Benar | Salah | Salah |
| Salah | Benar | Salah |
| Salah | Salah | Salah |

Definisi 2.5: (Rosen, 2007)

Jika p dan q adalah proposisi maka “ p atau q ” atau $p \vee q$ adalah sebuah proposisi pula, yang disebut sebagai disjungsi dari p dan q . Nilai kebenaran dari $p \vee q$ adalah salah pada saat p dan q keduanya bernilai salah dan benar bila salah satu atau keduanya dari p dan q bernilai benar

Berikut disajikan tabel nilai kebenaran untuk suatu proposisi p dan proposisi q dengan operator disjungsi pada Tabel 2.3.

Tabel 2.2 Nilai Kebenaran Operator Disjungsi (\vee)

| p | q | $p \vee q$ |
|-------|-------|------------|
| Benar | Benar | Benar |
| Benar | Salah | Benar |
| Salah | Benar | Benar |
| Salah | Salah | Salah |

Definisi 2.6: (Rosen, 2007)

Jika p dan q adalah proposisi maka eksklusif or dari p dan q adalah sebuah proposisi pula. Nilai kebenaran dari $p \oplus q$ adalah benar pada saat p dan q memiliki nilai kebenaran yang berbeda, dan salah bila p dan q memiliki nilai kebenaran yang sama

Berikut disajikan tabel nilai kebenaran untuk suatu proposisi p dan proposisi q dengan operator eksklusif or pada Tabel 2.4.

Tabel 2.3 Nilai Kebenaran Operator Eksklusif Or (\oplus)

| p | q | $p \oplus q$ |
|-------|-------|--------------|
| Benar | Benar | Salah |
| Benar | Salah | Benar |
| Salah | Benar | Benar |
| Salah | Salah | Salah |

Definisi 2.7: (Rosen, 2007)

Jika p dan q adalah proposisi maka implikasi $p \rightarrow q$ adalah sebuah proposisi pula. Nilai kebenaran dari $p \rightarrow q$ adalah salah hanya pada saat p bernilai benar dan q bernilai salah, selainnya $p \rightarrow q$ akan bernilai benar

Berikut disajikan tabel nilai kebenaran untuk suatu proposisi p dan proposisi q dengan operator implikasi pada Tabel 2.5.

Tabel 2.4 Nilai Kebenaran Operator Implikasi (\rightarrow)

| p | q | $p \rightarrow q$ |
|-------|-------|-------------------|
| Benar | Benar | Benar |
| Benar | Salah | Salah |
| Salah | Benar | Benar |
| Salah | Salah | Benar |

Definisi 2.8: (Rosen, 2007)

Jika p dan q adalah proposisi maka bikomposisi $p \leftrightarrow q$ juga sebuah proposisi. Nilai kebenaran dari $p \leftrightarrow q$ adalah benar pada saat p dan q memiliki nilai kebenaran yang sama, dan salah bila p dan q memiliki nilai kebenaran yang berbeda.

Berikut disajikan tabel nilai kebenaran untuk suatu proposisi p dan proposisi q dengan operator biimplikasi pada Tabel 2.6.

Tabel 2.5 Nilai Kebenaran Operator Biimplikasi (\leftrightarrow)

| p | q | $p \leftrightarrow q$ |
|-------|-------|-----------------------|
| Benar | Benar | Benar |
| Benar | Salah | Salah |
| Salah | Benar | Salah |
| Salah | Salah | Benar |

2.3.2 Operasi Bit

Komputer merepresentasikan informasi dalam bit-bit. Suatu bit memiliki 2 kemungkinan nilai, yaitu 0 dan 1. Kata “bit” berasal dari “*binary digit*”, karena 0 dan 1 adalah digit-digit yang digunakan dalam merepresentasikan bilangan biner. John Tukey, seorang *statistician* memperkenalkan istilah ini pada tahun 1946. Suatu bit dapat digunakan untuk merepresentasikan nilai kebenaran, karena terdapat dua nilai kebenaran yaitu *true* dan *false*. Gunakan bit 1 untuk *true* dan bit 0 untuk *false*. Variabel Boolean juga direpresentasikan dalam bit (Rosen, 2007).

Universitas Indonesia

Operasi bit serupa dengan operasi logika, ganti *true* dengan bit 1 dan *false* dengan bit 0. Tabel nilai kebenaran untuk operator \wedge , \vee , dan \oplus dapat dilihat pada Tabel 2.7 untuk operasi bit. Gunakan notasi *AND*, *OR*, dan *XOR* untuk operator \wedge , \vee , dan \oplus .

Tabel 2.6 Nilai Kebenaran Operator *AND*, *OR*, dan *XOR* (Rosen, 2007)

| <i>AND</i> | 0 | 1 | <i>OR</i> | 0 | 1 | <i>XOR</i> | 0 | 1 |
|------------|---|---|-----------|---|---|------------|---|---|
| 0 | 0 | 0 | 0 | 0 | 1 | 0 | 0 | 1 |
| 1 | 0 | 1 | 1 | 1 | 1 | 1 | 1 | 0 |

Contoh: $01101001 \text{ AND } 00000011 = 00000001$

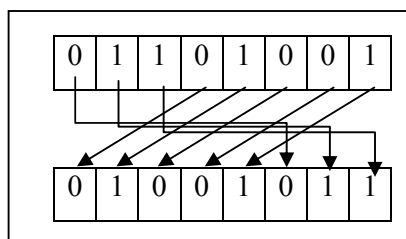
$01101001 \text{ OR } 00000011 = 01101011$

$01101001 \text{ XOR } 00000011 = 01101010$

Operator bit lainnya adalah operator *shift*. Operator *shift* terbagi dua, yaitu operator *left shift* (\ll) dan operator *right shift* (\gg). Operator *shift* melakukan operasi pergeseran deretan bit secara siklik. Operator *left shift* melakukan operasi pergeseran deretan bit secara siklik ke kiri sedangkan operator *right shift* melakukan operasi pergeseran deretan bit secara siklik ke kanan.

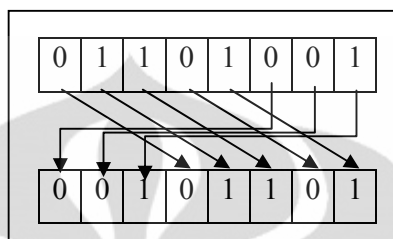
Berikut diberikan beberapa contoh perhitungan operasi *left shift* dan *right shift*.

- $01101001 \lll 00000011 = 01001011$, karena 00000011 adalah 3 dalam bilangan desimal, artinya pergeseran deretan bit 01101001 secara siklik ke kiri sebesar 3 menjadi 01001011 (lihat Gambar 2.2)



Gambar 2.2 Ilustrasi Operasi *Left Shift*

- $01101001 \ggg 00000011 = 00101101$, karena 00000011 adalah 3 dalam bilangan desimal, artinya pergeseran deretan bit 01101001 secara siklik dilakukan ke kanan sebesar 3 menjadi 00101101 (lihat Gambar 2.3)



Gambar 2.3 Ilustrasi Operasi *Right Shift*

2.3.3 Operasi Aritmatika Modular

Operator ($\text{mod } m$) merupakan *unary operator* yang memetakan bilangan bulat ke dalam himpunan bilangan bulat $\{0, 1, 2, \dots, m - 1\}$. Definisi mengenai operator ($\text{mod } m$), dapat dilihat pada Definisi 2.9.

Definisi 2.9: (Rosen, 2007)

Misalkan a adalah sebuah bilangan bulat dan m adalah sebuah bilangan bulat positif. Notasi $a \text{ mod } m$ merupakan sisa dari pembagian a oleh m .

Dengan perkataan lain $a \text{ mod } m = r$, dengan r adalah bilangan bulat memenuhi $a = qm + r$, $0 \leq r < m$. Berdasarkan Definisi 2.9, berikut diberikan beberapa contoh perhitungan dengan menggunakan *unary operator* modulo.

- $17 \text{ mod } 5 = 2$
- $-133 \text{ mod } 9 = 2$
- $2001 \text{ mod } 101 = 82$

Definisi 2.10: (Rosen, 2007)

Jika a dan b adalah dua bilangan bulat, dan m adalah sebuah bilangan bulat positif, maka a dikatakan kongruen modulo m dengan b jika $(a - b)$ habis dibagi oleh m , ditulis $a \equiv b \pmod{m}$

Berdasarkan Definisi 2.10, berikut diberikan beberapa contoh kongruensi modulo.

- $17 \equiv 5 \pmod{6}$ karena $17 - 5 = 12$ habis dibagi 6
- $21 \equiv -9 \pmod{10}$ karena $21 - (-9) = 30$ habis dibagi 10

Selanjutnya, aturan operasi aritmatika modular dapat dilihat pada Teorema 2.4.

Teorema 2.4: (Stallings, 2005):

- $((a \pmod{m}) + (b \pmod{m})) \pmod{m} = (a + b) \pmod{m}$
- $((a \pmod{m}) - (b \pmod{m})) \pmod{m} = (a - b) \pmod{m}$
- $((a \pmod{m}) \times (b \pmod{m})) \pmod{m} = (a \times b) \pmod{m}$

Bukti mengenai Teorema 2.4 dapat dilihat pada Lampiran 4.

Berdasarkan Teorema 2.4, berikut diberikan beberapa contoh perhitungan operasi aritmatika modular.

$$15 \pmod{8} = 7 \text{ dan } 11 \pmod{8} = 3$$

$$(15 \pmod{8} - 11 \pmod{8}) \pmod{8} = (7 - 3) \pmod{8} = 4 \pmod{8} = 4$$

$$(15 \pmod{8} - 11 \pmod{8}) \pmod{8} = (15 - 11) \pmod{8} = 4 \pmod{8} = 4$$

$$((15 \pmod{8}) \times (11 \pmod{8})) \pmod{8} = (7 \times 3) \pmod{8} = 21 \pmod{8} = 5$$

$$((15 \pmod{8}) \times (11 \pmod{8})) \pmod{8} = (15 \times 11) \pmod{8} = 165 \pmod{8} = 5$$

Operasi aritmatika modulo 8 dapat dilihat pada Gambar 2.4. Gambar 2.4 (a) menunjukkan operasi penjumlahan modulo 8, Gambar 2.4 (b) menunjukkan operasi perkalian modulo 8. Gambar 2.4 (c) mengindikasikan invers penjumlahan modulo 8, karena $0 + 0 = 0$, $1 + 7 = 0$, $2 + 6 = 0$, $3 + 5 = 0$, $4 + 4 = 0$, $5 + 3 = 0$, $6 + 2 = 0$, $7 + 1 = 0$ maka invers penjumlahan dari 0 adalah 0, invers penjumlahan dari 1 adalah 7 dan seterusnya.

| + | 0 | 1 | 2 | 3 | 4 | 5 | 6 | 7 |
|---|---|---|---|---|---|---|---|---|
| 1 | 1 | 2 | 3 | 4 | 5 | 6 | 7 | 0 |
| 2 | 2 | 3 | 4 | 5 | 6 | 7 | 0 | 1 |
| 3 | 3 | 4 | 5 | 6 | 7 | 0 | 1 | 2 |
| 4 | 4 | 5 | 6 | 7 | 0 | 1 | 2 | 3 |
| 5 | 5 | 6 | 7 | 0 | 1 | 2 | 3 | 4 |
| 6 | 6 | 7 | 0 | 1 | 2 | 3 | 4 | 5 |
| 7 | 7 | 0 | 1 | 2 | 3 | 4 | 5 | 6 |

(a) Addition modulo 8

| × | 0 | 1 | 2 | 3 | 4 | 5 | 6 | 7 |
|---|---|---|---|---|---|---|---|---|
| 0 | 0 | 0 | 0 | 0 | 0 | 0 | 0 | 0 |
| 1 | 0 | 1 | 2 | 3 | 4 | 5 | 6 | 7 |
| 2 | 0 | 2 | 4 | 6 | 0 | 2 | 4 | 6 |
| 3 | 0 | 3 | 6 | 1 | 4 | 7 | 2 | 5 |
| 4 | 0 | 4 | 0 | 4 | 0 | 4 | 0 | 4 |
| 5 | 0 | 5 | 2 | 7 | 4 | 1 | 6 | 3 |
| 6 | 0 | 6 | 4 | 2 | 0 | 6 | 4 | 2 |
| 7 | 0 | 7 | 6 | 5 | 4 | 3 | 2 | 1 |

(b) Multiplication modulo 8

| w | -w | w ⁻¹ |
|---|----|-----------------|
| 0 | 0 | — |
| 1 | 7 | 1 |
| 2 | 6 | — |
| 3 | 5 | 3 |
| 4 | 4 | — |
| 5 | 3 | 5 |
| 6 | 2 | — |
| 7 | 1 | 7 |

(c) Additive and multiplicative inverses modulo 8

Gambar 2.4 Operasi Aritmatika Modulo 8 (Stallings, 2005)

2.3.4 Operasi Aritmatika Biner

Bilangan yang biasa digunakan manusia adalah bilangan decimal (basis 10) dengan setiap digitnya adalah dari himpunan $\{0, 1, 2, \dots, 9\}$. Dalam basis 10, setiap posisi dari bilangan desimal dikalikan 10 dengan pangkat yang terus naik jika perpindahan dilakukan dari kanan ke kiri. Penomoran posisi dari kanan ke kiri dimulai dari 0.

$$\text{Contoh } 4096 = 4 \times 10^3 + 0 \times 10^2 + 9 \times 10^1 + 6 \times 10^0$$

Secara umum, jika n digit dari suatu bilangan desimal adalah

$d[n-1]d[n-2]d[n-3] \dots d[2]d[1]d[0]$, maka bilangan yang direpresentasikan oleh desimal (basis 10) tersebut adalah

$$d[n-1] \times 10^{n-1} + d[n-2] \times 10^{n-2} + d[n-3] \times 10^{n-3} + \dots + d[2] \times 10^2 + d[1] \times 10^1 + d[0] \times 10^0$$

Dalam biner, basisnya adalah 2, maka digit-digitnya adalah 0 dan 1 serta perkalian tiap posisi oleh 2^i (i adalah posisi digit). Digit-digit ini kelak disebut bit. Contoh bilangan biner 1101 adalah $1 \times 2^3 + 1 \times 2^2 + 0 \times 2^1 + 1 \times 2^0 = 8 + 4 + 1 = 13$.

Penjumlahan biner dinotasikan dengan “+” memiliki aturan dasar $0 + 0 = 0$, $0 + 1 = 1$, $1 + 0 = 1$, dan $1 + 1 = 0$ (simpan 1). Pengurangan biner dinotasikan dengan “-“ memiliki aturan dasar $0 - 0 = 0$, $1 - 0 = 1$, $1 - 1 = 0$, dan $0 - 1 = 1$ (pinjam 1). Perkalian biner dinotasikan dengan “x” dapat dilakukan dengan cara yang sama dengan perkalian bilangan desimal yaitu $0 \times 0 = 0$, $1 \times 0 = 0$, $0 \times 1 = 0$, dan $1 \times 1 = 1$.

Banyaknya digit bilangan biner biasanya adalah kelipatan 8. Barisan 8 bit suatu bilangan biner disebut *byte*. Setiap register pada RC6 memiliki panjang bit yang tetap. Ukurannya sesuai dengan ukuran register w yang telah ditentukan yaitu 32 bit. Jadi saat melakukan operasi aritmatika, ada hasil yang dibuang. Berikut adalah contoh operasi penjumlahan dengan $n=4$ bit.

```

1101
0101 +
0010 (carry register dibuang)

```

Jadi contoh ini menunjukkan $13 + 5 = 2$. Memang terlihat aneh, tapi ini disebut aritmatika modular dengan *modulo* $m = 2^n = 2^4 = 16$, sehingga $(13 + 5) \bmod 16 = 2$.

Oleh karena itu, bekerja dengan n -bit suatu bilangan biner hanyalah melakukan aritmatika modular $m = 2^n$. Artinya nilai terbesar yang bisa direpresentasikan adalah dalam n bit adalah $2^n - 1$. Tiap register yang dioperasikan pada algoritma RC6 berisi 32 bit sehingga nilai terbesar registernya adalah $2^n - 1 = 4294967295$.

Kombinasi dari operasi penjumlahan dan perkalian pada aritmatika dapat membentuk fungsi kuadrat. Umumnya, fungsi kuadrat berbentuk $f(x) = ax^2 + bx + c$ dengan $a, b, c \in R$ dan $a > 0$. Sedangkan fungsi kuadrat modular adalah

dengan menambahkan operator modulo sehingga fungsi kuadrat menjadi berbentuk $f(x) = ax^2 + bx + c \pmod m$ dengan $a, b, c \in R$ dan $a, m > 0$.

Kembali pada Definisi 2.1, fungsi 1-1 adalah fungsi yang memetakan elemen domain ke tepat satu dan hanya satu elemen kodomain. Dalam hal ini, fungsi kuadrat modular termasuk dalam fungsi injektif jika sesuai dengan Lemma 2.2.

Lemma 2.2: (Contini,1998)

Diberikan $f(x) = x(ax + b) \pmod m$ dengan a genap, b ganjil $m = 2^w$,

maka $f(x)$ adalah pemetaan 1-1 dari $\{0,1\}^w$ ke $\{0,1\}^w$

Bukti: (dengan kontradiksi)

Diberikan $x_1, x_2 \in \{0,1\}^w$

Andaikan $x_1 \neq x_2$ maka $f(x_1) = f(x_2)$. Maka,

$$\begin{aligned} ax_1^2 + bx_1 &= ax_2^2 + bx_2 \pmod m \\ ax_1^2 + bx_1 - ax_2^2 - bx_2 &\pmod m = 0 \\ ax_1^2 - ax_2^2 + bx_1 - bx_2 &\pmod m = 0 \\ a(x_1^2 - x_2^2) + b(x_1 - x_2) &\pmod m = 0 \\ (x_1 - x_2)(a(x_1 + x_2) + b) &\pmod m = 0 \end{aligned}$$

Sehingga didapat $(x_1 - x_2)(ax_1 + ax_2 + b) \pmod m = 0$ (2.6)

Karena $(ax_1 + ax_2 + b)$ ganjil agar memenuhi persamaan 2.6 maka $(x_1 - x_2)$ merupakan perkalian dari $m = 2^w$, sehingga diperoleh $x_1 = x_2$. Hal ini kontradiksi dengan pemisalan. Oleh karena itu terbukti bahwa $f(x)$ adalah fungsi satu-satu dari $\{0,1\}^w$ ke $\{0,1\}^w$.

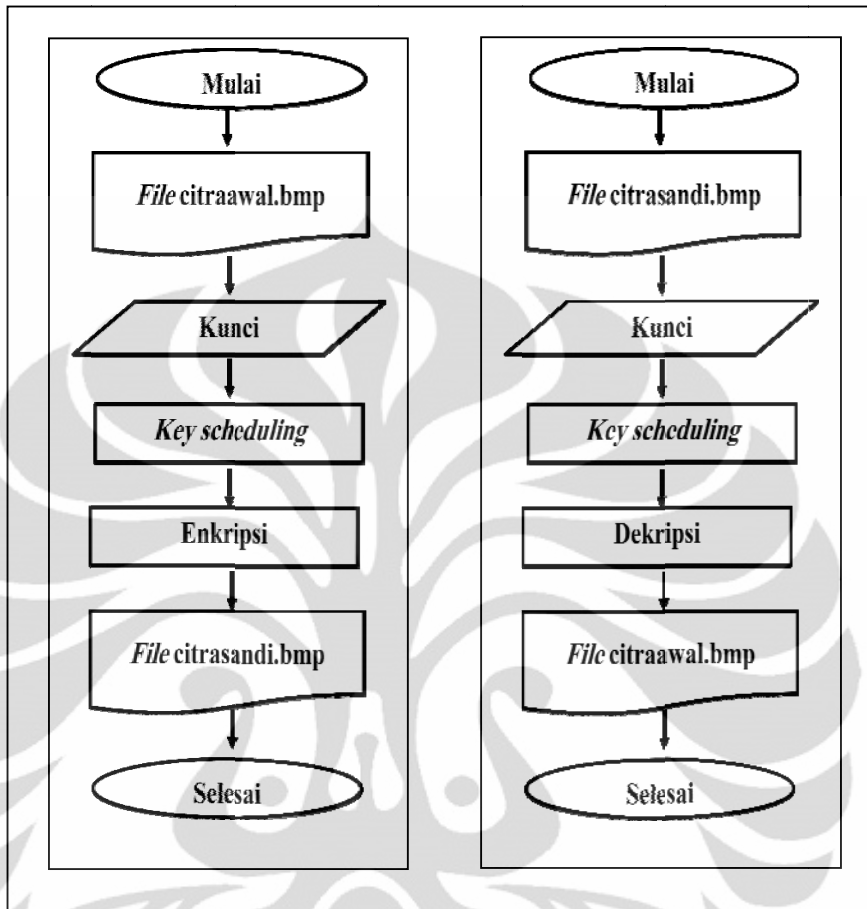
BAB 3 KONSEP ALGORITMA RC6

Algoritma RC6 merupakan algoritma yang menggunakan kunci simetris (kunci enkripsi sama dengan kunci dekripsi) didesain oleh Ronald Linn Rivest, Matt J.B Robshaw, Ray Sydney, dan Yuqin Lisa Yin dari Laboratorium RSA. RC adalah singkatan dari 'Rivest Code' sedangkan 6 berarti algoritma ini merupakan pengembangan dari algoritma sebelumnya.

Letak perbedaan RC6 dari varian-varian sebelumnya adalah adanya langkah transformasi dan perbedaan banyak register. Register diperlukan untuk penempatan blok data yang diolah pada algoritma sehingga algoritma mengolah data pada tiap register yang ada. Algoritma RC5 membagi *plaintext* ke dalam 2 register, lain halnya dengan RC6 yang membagi *plaintext* ke dalam 4 register. Sedangkan algoritma RC4 bukanlah algoritma *block cipher* (algoritma penyandian yang mengolah data per blok) seperti RC5 dan RC6 melainkan algoritma *stream cipher* (algoritma penyandian yang mengolah data per bit).

RC6 mempunyai tiga parameter, sehingga dituliskan sebagai RC6- $w/r/b$. Ketiga parameter tersebut berarti ukuran register w (32, 64 atau 128 bit), banyak iterasi r yang tidak boleh bernilai negatif, dan panjang kunci b . Saat algoritma ini masuk kandidat AES, ditetapkan nilai $w = 32$ bit, $r = 20$, dan b bervariasi antara 16, 24, dan 32 *byte*. Pemilihan $w = 32$ bit mengindikasikan bahwa operasi-operasi yang ada pada algoritma RC6 seperti penjumlahan, pengurangan, perkalian, XOR, dan *shift* dilakukan pada *operand* berupa tepat 32 bit bilangan biner.

Selanjutnya akan dijelaskan langkah-langkah penyandian dan pengembalian sandi (lihat Gambar 3.1) yang terdapat pada algoritma RC6 yaitu algoritma *key scheduling*, enkripsi, dan dekripsi.



Gambar 3. 1 Proses Enkripsi dan Dekripsi Citra Digital pada Algoritma RC6

3.1 Algoritma *Key Scheduling*

Sebelum melakukan proses enkripsi dan dekripsi, dibutuhkan suatu *key scheduling* untuk mendapatkan kunci-kunci yang akan digunakan dalam proses enkripsi dan dekripsi tersebut.

Algoritma *key scheduling* RC6 terdiri dari 3 tahap utama, yaitu:

- a) Penempatan kunci yang di-*input* pengguna kedalam *array L*
- b) Inisialisasi kunci yang ditempatkan dalam *array S*
- c) Kombinasi *L* dan *S*

Kunci yang di-input pengguna $K[0..b-1]$ memiliki panjang sebesar b byte. Besar b bervariasi yaitu 16, 24, atau 32 byte. Kemudian kunci dimasukkan kedalam array berukuran c word $L[0,1,\dots,c-1]$ dengan nilai $c = \lceil \frac{b}{4} \rceil$. Misal $b = 16$ byte, maka algoritma RC6 menyiapkan array $L[0,1,2,3]$ karena panjang kunci sebesar 16 byte terdiri dari 4 word (1 word = 32 bit = 4 byte) untuk penempatan kunci yang dimasukkan oleh pengguna. Proses tersebut dapat dilakukan dengan menggunakan Algoritma 3.1.

Algoritma 3.1

```
{penempatan kunci pengguna}
for i=b-1 downto 0
    L[i/4]=L[i/4<<8]+K[i]
end
```

Tabel 3. 1 Penempatan kunci yang dimasukkan oleh pengguna pada array L

| Kunci | Bilangan ASCII | Bilangan Biner | Array |
|---------|----------------|----------------|---|
| M | 77 | 01001101 | $L[0]$ |
| A | 65 | 01000001 | $01000101010101000100000101001101$ { E T A M |
| T | 84 | 01010100 | |
| E | 69 | 01000101 | |
| M | 77 | 01001101 | |
| A | 65 | 01000001 | $L[1]$ |
| T | 84 | 01010100 | $01001001010101000100000101001101$ { I T A M |
| I | 73 | 01001001 | |
| K | 75 | 01001011 | |
| A | 65 | 01000001 | |
| [spasi] | 32 | 00100000 | $L[2]$ |
| U | 85 | 01010101 | $01010101001000000100000101001011$ { U [spasi] A K |
| I | 73 | 01001001 | |
| 0 | 0 | 00000000 | |
| 0 | 0 | 00000000 | |
| 0 | 0 | 00000000 | $L[3]$ |
| 0 | 0 | 00000000 | $00000000000000000000000001001001$ { 0 0 0 I |
| 0 | 0 | 00000000 | |
| 0 | 0 | 00000000 | |
| 0 | 0 | 00000000 | |

Misal: kunci yang di-*input* pengguna sepanjang 13 *byte* dengan kata kunci “MATEMATIKA UI”, maka tambahkan 3 *byte* 0 ke dalam kunci tersebut menjadi “MATEMATIKA UI000” sehingga panjang kunci menjadi 16 *byte*. Lalu, masing-masing karakter diubah ke dalam bilangan ASCII dan diubah ke dalam bilangan biner 8 bit. Kemudian, setiap 32 bitnya dimasukkan ke dalam array $L[0]$, $L[1]$, $L[2]$, dan $L[3]$ sesuai dengan aturan penempatan yang berlaku (Lihat Tabel 3.1).

Penempatan kunci pengguna ke dalam *array* $L[0,1,2,3]$ adalah dengan menempatkan *byte* pertama dari kunci ke *byte* paling kanan (*least significant*) dari $L[0]$, lalu *byte* berikutnya di tempatkan di sisi kiri dari *byte* sebelumnya pada $L[0]$ sampai dengan $L[0]$ terisi sebanyak 4 *byte*. *Byte* kelima dari kunci diletakkan pada *byte* paling kanan (*least significant*) $L[1]$, lalu *byte* berikutnya ditempatkan di sisi kiri *byte* sebelumnya pada $L[1]$ sampai dengan $L[1]$ terisi sebanyak 4 *byte*. Begitu pula penempatan *byte* pada $L[2]$ dan $L[3]$ sehingga *byte* terakhir pada kunci yang di-*input* pengguna terdapat pada *byte* paling kiri (*most significant*) $L[3]$. Jika kunci yang dimasukkan kurang dari 16 *byte*, maka tambahkan bit-bit 0 sehingga panjang kunci menjadi 16 *byte* seperti pada *contoh* (lihat Tabel 3.1).

Kemudian inialisasi kunci S menggunakan *magic constant* P_w dan Q_w sesuai Algoritma 3.2. Proses untuk membangun kunci inialisasi tersebut didapat dari dua buah *magic constant* P_w dan Q_w . Beberapa nilai *magic constant* dalam heksadesimal pada beberapa ukuran register (w) disajikan dalam Tabel 3.2.

Tabel 3. 2 *Magic Constant* (Wisnu, 2010)

| w | P_w | Q_w |
|-----|------------------|------------------|
| 16 | b7e1 | 9e37 |
| 32 | b7e15163 | 9e3779b9 |
| 64 | b7e151628aed2a6b | 9e3779b97f4a7c15 |

Algoritma 3.2

```
{Inialisasi kunci S[i]}
S[0]=Pw
for i=1 to 2r+3
    S[i]=S[i-1]+ Qw
end
```

Selanjutnya adalah proses kombinasi kunci yang di-input pengguna L dengan kunci inisialisasi S dilakukan berdasarkan algoritma *key scheduling* RC6 yang dapat dilihat pada Algoritma 3.3 menghasilkan 44 kunci ronde yang ditempatkan pada array $S[0,1, \dots, 43]$.

Algoritma 3.3

```
{Key Scheduling RC6}
Input      : array L[0,1,2,...,c-1]
Output     : array S[0,1,2,...,2r+4]
Prosedur   :
S[0]=Pw
for i=1 to 2r+3
    S[i]=S[i-1]+ Qw
end

A=B=i=j=0
V=3*max(c, 2r+4)
for s=1 to v
    S[i]=(S[i]+A+B)<<<3
    A=S[i]
    L[j]=(L[j]+A+B)<<<(A+B)
    B=L[j]
    i=i+1 mod 2r+4
    j=j+1 mod c
end
```

Proses kombinasi kunci pengguna L dengan hasil kunci inisialisasi S menjadi kunci-kunci ronde ditampung dalam array $S[0,1,2, \dots, 2r + 3]$ dengan panjang masing-masing kunci ronde 32 bit. Kunci insialisasi $S[i]$ ditambahkan dengan nilai A dan B . Pada langkah awal, nilai A dan B adalah nol, lalu hasilnya digeser sebesar 3 bit ke kiri, kemudian nilai $S[i]$ yang baru disimpan di A . $L[j]$ ditambahkan dengan nilai A dan B , lalu hasilnya digeser ke kiri sebesar 5 bit dari nilai penjumlahan A dan B . Langkah ini memperlihatkan kunci pengguna telah dikombinasikan dengan kunci inisialisasi. Iterasi dilakukan sebanyak tiga kali nilai maksimum $\{c, 2r + 4\}$.

3.2 Algoritma Enkripsi

Algoritma RC6 merupakan algoritma *block cipher*. Blok data yang diolah sebesar 128 bit dikelompokkan menjadi 4 buah blok. Masing-masing blok data

berukuran 32 bit tersebut kemudian disimpan dalam register A , B , C , dan D lalu dioperasikan dengan kunci-kunci berukuran 32 bit pula yang telah diperoleh dari algoritma *key scheduling* RC6 (subbab 3.1).

Penempatan *plaintext* tiap blok data 16 *byte* ke dalam 4 register A, B, C , dan D serupa dengan penempatan kunci pengguna yang dimasukkan ke dalam array $L[0,1,2,3]$. Aturan penempatannya adalah dengan meletakkan *byte* pertama dari blok data ke *byte* paling kanan (*least significant*) dari register A , lalu *byte* berikutnya ditempatkan di sisi kiri *byte* sebelumnya pada register A sampai dengan register A terisi sebanyak 4 *byte*. Begitupula dengan penempatan *byte* pada register B , C dan D sehingga *byte* terakhir blok data terdapat pada *byte* paling kiri (*most significant*) register D .

Secara umum enkripsi dengan menggunakan algoritma RC6 berdasarkan algoritma 3.4 memiliki langkah-langkah terurut sebagai berikut:

- *Whitening* awal
- Transformasi
- *Mixing*
- *Swap* register
- *Whitening* akhir

Algoritma 3.4

```
{Enkripsi RC6}
Input      :   plaintext dalam register [A,B,C,D]
              r jumlah iterasi
Output     :   ciphertext dalam register [A,B,C,D]
Prosedur
B = B + S[0]                                } whitening
D = D + S[1]                                } awal
for i=1 to r
    t= ( B x ( 2B + 1 )) <<< 5              } transformasi
    u= ( D x ( 2D + 1 ))<<< 5
    A = ((A ⊕ t) <<< u ) + S[2i]            } mixing
    C = ((C ⊕ u) <<< t ) + S[2i+1]
    ( A, B, C, D ) = ( B, C, D, A )        } swap register
end
A = A + S[2r+2]                              } whitening
C = C + S[2r+3]                              } akhir
```



Gambar 3. 2 *Flowchart* Enkripsi RC 6

Langkah pertama yang dilakukan algoritma enkripsi RC 6 adalah *whitening* awal, yakni menambahkan kunci ronde pertama dengan register B dan kunci ronde kedua dengan register D . Tujuan *whitening* awal adalah untuk menyamakan *input* sebelum iterasi pertama.

Langkah kedua adalah transformasi yang dilakukan dengan menggunakan fungsi kuadrat $f(x) = x(2x + 1)(\text{mod } 2^{32})$ pada register B dan D diikuti pergeseran siklik ke kiri sebesar 5 bit. Fungsi $f(x) = x(2x + 1)(\text{mod } 2^{32})$ adalah fungsi satu-satu (Lemma 2.2), sehingga penggunaan fungsi $f(x)$ pada proses transformasi ini menjamin tiap nilai x menghasilkan suatu nilai $f(x)$. Setelah pergeseran sebesar 5 bit, simpan nilai yang didapat dalam variabel t dan u untuk dapat melakukan langkah selanjutnya.

Langkah ketiga adalah *mixing*, yakni pencampuran isi keempat register yang dilakukan dengan melakukan operasi *XOR* terhadap register A dan C dengan

Universitas Indonesia

variabel t dan u yang telah dibahas sebelumnya. Lalu, hasil dari operasi XOR ini digeser ke kiri sebesar nilai variabel u dan t , barulah ditambahkan kunci-kunci ronde yang bersesuaian. Di langkah *mixing* ini terlihat bahwa keempat register yang berisi blok data saling bercampur.

Langkah keempat adalah *swap* register, yakni melakukan permutasi antar register atau mengubah urutan register dari (A, B, C, D) menjadi (B, C, D, A) .

Langkah terakhir adalah *whitening* akhir, yakni menambahkan kunci ronde ke-42 dengan register A dan kunci ronde ke-43 dengan register C . *Whitening* akhir bertujuan untuk menyamakan *output* pada iterasi terakhir.

3.3 Algoritma Dekripsi

Setelah melakukan penyandian menggunakan algoritma enkripsi RC6, pengguna butuh mengembalikan *ciphertext* menjadi *plaintext*. Untuk itu, dilakukan proses dekripsi menggunakan algoritma dekripsi RC6.

Algoritma dekripsi adalah invers atau kebalikan dari algoritma enkripsi. Operator yang ada dalam algoritma dekripsi adalah kebalikan dari operator dalam algoritma enkripsi. Blok data yang diolah sama dengan blok data pada proses enkripsi, yaitu sebesar 128 bit yang dibagi ke dalam 4 register. Bedanya, *input* dari algoritma dekripsi adalah *ciphertext* yang akan mengeluarkan *output plaintext*. Masing-masing blok data *ciphertext* berukuran 32 bit kemudian juga disimpan dalam register A , B , C , dan D lalu dioperasikan dengan kunci-kunci berukuran 32 bit pula yang telah dibangun pada algoritma *key scheduling* RC6.

Kunci dan banyaknya iterasi yang digunakan pada proses dekripsi sama dengan yang digunakan pada proses enkripsi. Langkah-langkah yang dilakukan pada proses dekripsi sama dengan proses enkripsi, hanya saja urutannya dibalik bagaikan mereka ulang kejadian yang dialami oleh blok data *plaintext* yang telah menjadi *ciphertext* (Lihat Gambar 3.3). Jadi, langkah pertama pada proses dekripsi adalah langkah terakhir pada proses enkripsi.

Langkah-langkah tersebut adalah *whitening* akhir, *swap* register, transformasi, *mixing*, dan *whitening* awal yang dapat dilihat pada Algoritma 3.5.

Algoritma 3.5

{dekripsi RC6}

Input : *ciphertext* dalam register [A,B,C,D]
r jumlah iterasi

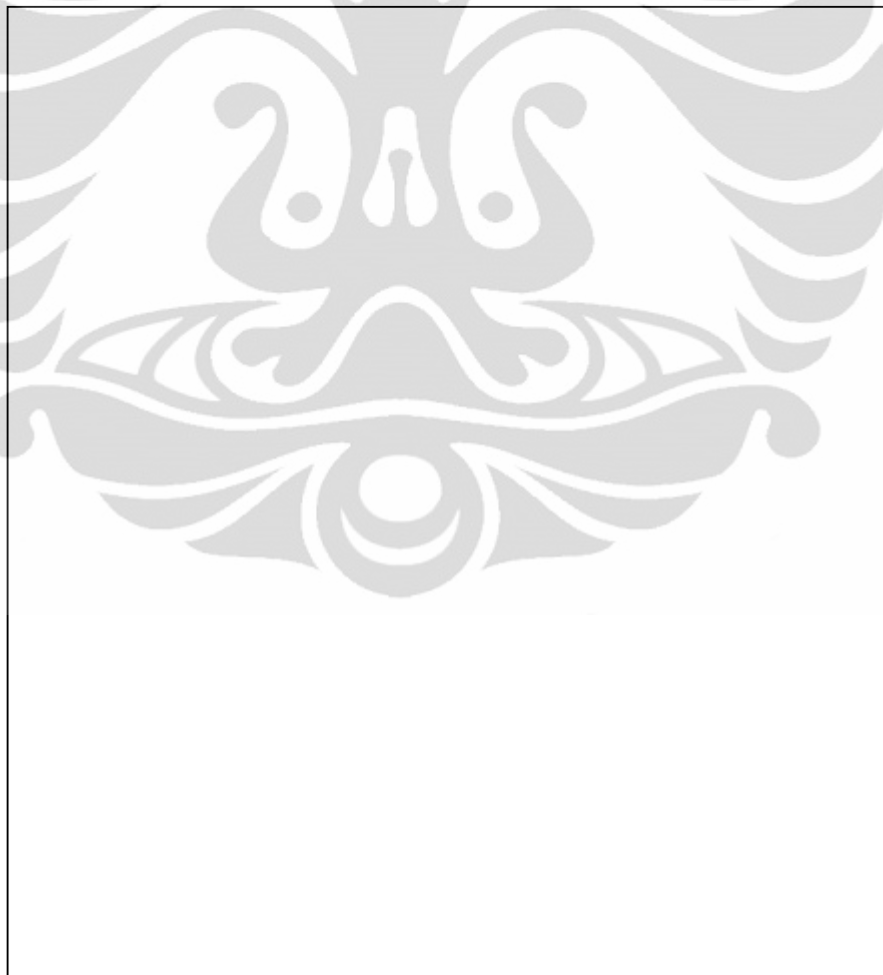
Output : *plaintext* dalam register [A,B,C,D]

Prosedur

```

C = C - S[2r+3] } whitening
A = A - S[2r+2] } akhir
for i=r down to 1
    (A, B, C, D) = (D, A, B, C) } swap register
    u = (D x (2D + 1)) <<<5 } transformasi
    t = (B x (2B + 1)) <<<5
    C = ((C - S[2i+1]) >>> t) ⊕ u } mixing
    A = ((A - S[2i]) >>> u) ⊕ t
end
D = D - S[1] } whitening awal
B = B - S[0]

```



Langkah pertama algoritma dekripsi RC6 adalah *whitening* akhir, yakni mengembalikan proses *whitening* akhir pada proses enkripsi dengan mengurangi register A dan C dengan kunci yang bersesuaian (sama dengan yang dipakai pada saat proses *whitening* akhir enkripsi).

Langkah kedua adalah *swap* register, yakni mengembalikan proses *swap* register yang dilakukan pada saat enkripsi dari (B, C, D, A) kembali menjadi (A, B, C, D) .

Langkah ketiga adalah transformasi sama halnya dengan langkah transformasi pada proses enkripsi, dilakukan pada register B dan D serta hasilnya disimpan pada variabel yang sama pula, yaitu t dan u .

Langkah keempat adalah *mixing*, yakni mengurangi isi register C dan A dengan kunci ronde yang bersesuaian, lalu masing-masing digeser ke kanan sebesar 5 bit terakhir nilai variabel t dan u , kemudian dilakukan operasi *XOR* dengan nilai variabel u dan t .

Langkah terakhir adalah *whitening* awal, yakni mengembalikan proses *whitening* awal pada enkripsi dengan mengurangi register B dan D dengan kunci yang bersesuaian (sama dengan yang dipakai saat proses *whitening* awal enkripsi).

BAB 4 IMPLEMENTASI ALGORITMA RC6 PADA CITRA DIGITAL

Bab ini akan menjelaskan proses pengamanan data berupa citra digital menggunakan algoritma RC6. Dimulai dari *key scheduling*, proses penyandian citra digital tersebut (enkripsi), dan pengembalian data citra digital yang telah tersandi menjadi data citra digital semula (dekripsi).

4.1 Key Scheduling

Sesuai dengan Algoritma *key scheduling* pada subbab 3.1, langkah pertama dalam melakukan *key scheduling* adalah penempatan kunci pengguna (Tabel 3.2). Selanjutnya inisialisasi kunci berdasarkan Algoritma 3.2 menggunakan P_{32} dan Q_{32} sehingga didapat kunci inisialisasi dalam biner yang ditempatkan dalam *array S* seperti pada Tabel 4.1.

Tabel 4. 1 Kunci Inisialisasi

| i | $S[i]$ |
|-----|----------------------------------|
| 0 | 10110111111000010101000101100011 |
| 1 | 01010110000110001100101100011100 |
| 2 | 11110100010100000100010011010101 |
| 3 | 10010010100001111011111010001110 |
| 4 | 00110000101111110011100001000111 |
| 5 | 11001110111101101011001000000000 |
| 6 | 01101101001011100010101110111001 |
| 7 | 00001011011001011010010101110010 |
| 8 | 10101001100111010001111100101011 |
| 9 | 01000111110101001001100011100100 |
| 10 | 11100110000011000001001010011101 |
| 11 | 10000100010000111000110001010110 |
| 12 | 00100010011110110000011000001111 |
| 13 | 11000000101100100111111111001000 |
| 14 | 01011110111010011111100110000001 |
| 15 | 11111101001000010111001100111010 |

Tabel 4.1 Kunci Inisialisasi

| i | $S[i]$ |
|-----|----------------------------------|
| 16 | 10011011010110001110110011110011 |
| 17 | 00111001100100000110011010101100 |
| 18 | 11010111110001111110000001100101 |
| 19 | 01110101111111110101101000011110 |
| 20 | 00010100001101101101001111010111 |
| 21 | 10110010011011100100110110010000 |
| 22 | 01010000101001011100011101001001 |
| 23 | 11101110110111010100000100000010 |
| 24 | 10001101000101001011101010111011 |
| 25 | 00101011010011000011010001110100 |
| 26 | 11001001100000111010111000101101 |
| 27 | 01100111101110110010011111100110 |
| 28 | 00000101111100101010000110011111 |
| 29 | 10100100001010100001101101011000 |
| 30 | 01000010011000011001010100010001 |
| 31 | 11100000100110010000111011001010 |
| 32 | 01111110110100001000100010000011 |
| 33 | 00011101000010000000001000111100 |
| 34 | 10111011001111110111101111110101 |
| 35 | 01011001011101101111010110101110 |
| 36 | 11110111101011100110111101100111 |
| 37 | 10010101111001011110100100100000 |
| 38 | 00110100000111010110001011011001 |
| 39 | 11010010010101001101110010010010 |
| 40 | 01110000100011000101011001001011 |
| 41 | 00001110110000111101000000000100 |
| 42 | 10101100111110110100100110111101 |
| 43 | 01001011001100101100001101110110 |

Setelah mendapatkan kunci-kunci inisialisasi yang ditempatkan dalam *array S* (Tabel 4.1), algoritma RC6 mengkombinasikan hasil inisialisasi kunci *S* dengan kunci pengguna *L*. Setelah melakukan kombinasi sesuai dengan algoritma *key scheduling* RC6, didapatkan 44 buah kunci ronde ditempatkan pada *array S* (lihat Tabel 4.2) yang akan digunakan dalam algoritma enkripsi maupun dekripsi RC6.

Tabel 4. 2 Kunci Ronde

| i | $S[i]$ |
|-----|----------------------------------|
| 0 | 10111111000010101000101100011101 |
| 1 | 11010011101111001011110000110010 |
| 2 | 10100010000111101111000111101100 |
| 3 | 01000100000010110010001101111010 |
| 4 | 00000101111011010100000010110111 |
| 5 | 01101011100100110110101100000001 |
| 6 | 00000100100011001001101100111100 |
| 7 | 11010001100001001101011001110111 |
| 8 | 11010000011101010010011111100110 |
| 9 | 00110100001101010110001010101101 |
| 10 | 00011101111101100010101010110110 |
| 11 | 01010100111110101110011110100101 |
| 12 | 00001000011001110000111101101010 |
| 13 | 00010000100110001011001111100101 |
| 14 | 01111100101010101100010110011111 |
| 15 | 11011110000111101000000000111111 |
| 16 | 00101000110100100110100000110110 |
| 17 | 01101011001100100011110001111011 |
| 18 | 01100010010110010111001100011001 |
| 19 | 00010110000011011000100001001010 |
| 20 | 11100111111100000001010000111001 |
| 21 | 01010010110111100111111100100000 |
| 22 | 11101100111100101101010000101110 |
| 23 | 11001111100011010001001111000010 |
| 24 | 01100011111001001001110010101110 |
| 25 | 01101010000111100000110001010001 |
| 26 | 01100011101001000110101110001110 |
| 27 | 01100011100011001110001101001010 |
| 28 | 01111001100110010101101010000100 |
| 29 | 10011110000010001001100000101101 |
| 30 | 00111100010010111100001011011010 |
| 31 | 11101011101110010011100001101001 |
| 32 | 10001011110101000010101001110010 |
| 33 | 11010110011001110110101101101100 |
| 34 | 01010101001000111010110010011111 |
| 35 | 01111101110111111000100000111000 |
| 36 | 11010111110101000000110010110101 |
| 37 | 10111011101111111101000100101100 |
| 38 | 01100101001110111111001001110010 |

Tabel 4.2 Kunci Ronde

| i | $S[i]$ |
|-----|----------------------------------|
| 39 | 01111100111101000010001001111110 |
| 40 | 01101001010011010110111001001110 |
| 41 | 00000100011011010010010000100011 |
| 42 | 01100100001101000001110101101010 |
| 43 | 01010101000101101010110001011001 |

4.2 Enkripsi Citra Digital

Untuk dapat mengenkripsi suatu citra digital, representasikan citra digital tersebut dalam bentuk matriks seperti pada persamaan (2.1) sesuai dengan ukuran *pixel* citra yang bersangkutan. Berikut diberikan contoh untuk memperjelas proses enkripsi suatu citra digital.

Misal: Citra yang akan dienkripsi berukuran 16x17 *pixel* (Gambar 4.1)

**Gambar 4. 1** Plaintext

Kemudian, ubah representasi citra dalam matriks ukuran 16 x 17.

| | | | | | | | | | | | | | | | | |
|-----|-----|-----|-----|-----|-----|-----|-----|-----|-----|-----|-----|-----|-----|-----|-----|-----|
| 57 | 172 | 85 | 99 | 127 | 128 | 138 | 123 | 136 | 126 | 122 | 161 | 157 | 148 | 109 | 136 | 54 |
| 169 | 157 | 76 | 106 | 124 | 132 | 136 | 172 | 200 | 123 | 114 | 148 | 147 | 140 | 224 | 50 | 47 |
| 85 | 153 | 85 | 99 | 121 | 116 | 132 | 145 | 217 | 218 | 81 | 153 | 120 | 146 | 48 | 52 | 160 |
| 91 | 150 | 74 | 102 | 172 | 122 | 116 | 166 | 191 | 203 | 205 | 153 | 218 | 225 | 51 | 140 | 159 |
| 100 | 150 | 76 | 96 | 169 | 102 | 146 | 173 | 156 | 187 | 176 | 201 | 204 | 62 | 51 | 160 | 157 |
| 103 | 157 | 70 | 98 | 205 | 132 | 133 | 101 | 111 | 192 | 187 | 203 | 120 | 45 | 139 | 159 | 153 |
| 104 | 151 | 70 | 102 | 95 | 129 | 55 | 87 | 128 | 164 | 206 | 62 | 52 | 46 | 148 | 157 | 152 |
| 101 | 150 | 77 | 99 | 168 | 52 | 53 | 114 | 124 | 87 | 193 | 98 | 66 | 138 | 157 | 155 | 134 |
| 97 | 147 | 85 | 141 | 96 | 88 | 50 | 78 | 150 | 142 | 190 | 83 | 46 | 158 | 151 | 131 | 189 |
| 83 | 142 | 69 | 68 | 70 | 119 | 185 | 103 | 154 | 121 | 230 | 40 | 41 | 153 | 146 | 193 | 208 |
| 63 | 153 | 70 | 67 | 78 | 180 | 44 | 83 | 145 | 103 | 112 | 70 | 130 | 146 | 140 | 207 | 215 |
| 53 | 145 | 60 | 49 | 109 | 51 | 51 | 60 | 126 | 166 | 63 | 60 | 163 | 148 | 126 | 214 | 129 |
| 148 | 129 | 145 | 96 | 51 | 53 | 60 | 57 | 133 | 148 | 188 | 207 | 150 | 136 | 111 | 70 | 95 |
| 47 | 121 | 71 | 40 | 51 | 86 | 64 | 128 | 145 | 144 | 171 | 211 | 145 | 134 | 210 | 114 | 86 |
| 91 | 101 | 99 | 51 | 56 | 127 | 55 | 99 | 140 | 137 | 156 | 196 | 108 | 45 | 117 | 80 | 59 |
| 49 | 109 | 61 | 56 | 79 | 69 | 114 | 130 | 140 | 144 | 152 | 174 | 138 | 126 | 86 | 119 | 104 |

Untuk melakukan enkripsi citra digital dengan algoritma RC6, ambil *plaintext* per 16 byte blok data per kolomnya. Jika pada *block cipher* terakhir kurang dari 16 byte, maka tambahkan *dummy* 0 sehingga *block cipher* menjadi 16 byte. Berikut langkah demi langkah algoritma RC6 dalam enkripsi 16 byte pertama dari citra pada Gambar 4.1:

- a) Tempatkan 16 byte pertama *plaintext*

157 169 85 91 100 103 104 101 97 83 63 53 148 47 91 49

ke dalam 4 buah register *A*, *B*, *C*, dan *D* (Lihat Tabel 4.3)

Tabel 4. 3 Penempatan Blok Data *Plaintext* pada keempat Register

| Blok data | Bilangan Biner | Register |
|-----------|----------------|--|
| 157 | 10011101 | <i>A</i> 010110110101010110100110011101 |
| 169 | 10101001 | |
| 85 | 01010101 | |
| 91 | 01011011 | |
| 100 | 01100100 | <i>B</i> 01100101011010000110011101100100 |
| 103 | 01100111 | |
| 104 | 01101000 | |
| 101 | 01100101 | |
| 97 | 01100001 | <i>C</i> 00110101001111110101001101100001 |
| 83 | 01010011 | |
| 63 | 00111111 | |
| 53 | 00110101 | |
| 148 | 10010100 | <i>D</i> 0011000101011011001011110010100 |
| 47 | 00101111 | |
| 91 | 01011011 | |
| 49 | 00110001 | |

b) Lakukan langkah *whitening* awal:

$$\begin{aligned}
 B &= B + S[0] \\
 &01100101011010000110011101100100 \\
 &\quad \underline{10111111000010101000101100011101} + \\
 &= 00100100011100101111001010000001
 \end{aligned}$$

$$\begin{aligned}
 D &= D + S[1] \\
 &00110001010110110010111110010100 \\
 &\quad \underline{11010011101111001011110000110010} + \\
 &= 00000101000101111110101111000110
 \end{aligned}$$

Kemudian, lakukan langkah transformasi, *mixing*, dan *swap register* sebanyak $r = 20$ iterasi. Berikut adalah langkah transformasi, *mixing*, dan *swap register* pada iterasi pertama.

$$\begin{aligned}
 t &= Bx(2B + 1) \lll 5 \\
 &00100100011100101111001010000001 \\
 &\quad \underline{01001000111001011110010100000011} \times \\
 &= 01110101101010110011110010000011 \lll 5 \\
 &= 10110101011001111001000001101110
 \end{aligned}$$

$$\begin{aligned}
 u &= Dx(2D + 1) \lll 5 \\
 &00000101000101111110101111000110 \\
 &\quad \underline{00001010001011111101011110001101} \times \\
 &= 11110001101110001010110011101010 \lll 5 \\
 &= 00110111000101011001110101011110
 \end{aligned}$$

$$\begin{aligned}
 A &= (A \oplus t) \lll u + S[2] \\
 &01011011010101011010100110011101 \\
 &\quad \underline{11110001101110001010110011101010} \oplus \\
 &= 10101010111011010000010101110111 \lll 11110 + S[2] \\
 &= 11101111110111001101001101010001
 \end{aligned}$$

$$C = (C \oplus u) \lll t + S[3]$$

$$= 11101100010011111001111011110111$$

$$B = 11101111110111001101001101010001$$

$$C = 00100100011100101111001010000001$$

$$D = 11101100010011111001111011110111$$

$$A = 00000101000101111110101111000110$$

Lakukan langkah transformasi, *mixing*, dan *swap register* sebanyak $r = 20$ iterasi sehingga keempat register menjadi:

$$A = 01000100100011100010111010111010$$

$$B = 10110001011101011001100000111100$$

$$C = 00110101100100010110010010011001$$

$$D = 01011100101100111101101100101110$$

c) Lakukan langkah *whitening* akhir sehingga register A dan C menjadi:

$$A = A + S[42]$$

$$01000100100011100010111010111010$$

$$\underline{01100100001101000001110101101010} +$$

$$= 10101000110000100100110000100100$$

$$C = C + S[43]$$

$$00110101100100010110010010011001$$

$$\underline{01010101000101101010110001011001} +$$

$$= 10001010101010000001000011110010$$

d) Sehingga 16 *byte* pertama *Ciphertext* menjadi:

36 76 194 168 96 152 117 177 242 16 168 138 46 219 179 92

Proses enkripsi ini terus berlangsung hingga semua blok data *plaintext* tersandikan. Setiap 16 *byte* data yang telah tersandikan kembali dimasukkan dalam matriks 16 x 17 per kolomnya:

| | | | | | | | | | | | | | | | | |
|-----|-----|-----|-----|-----|-----|-----|-----|-----|-----|-----|-----|-----|-----|-----|-----|-----|
| 36 | 70 | 134 | 92 | 1 | 125 | 165 | 159 | 96 | 18 | 121 | 7 | 49 | 77 | 133 | 56 | 123 |
| 76 | 27 | 241 | 241 | 138 | 3 | 84 | 226 | 102 | 253 | 237 | 206 | 48 | 52 | 107 | 113 | 72 |
| 194 | 125 | 134 | 226 | 128 | 152 | 4 | 17 | 93 | 116 | 142 | 204 | 49 | 84 | 13 | 65 | 228 |
| 168 | 138 | 197 | 116 | 78 | 135 | 167 | 152 | 252 | 80 | 173 | 30 | 227 | 172 | 0 | 95 | 21 |
| 96 | 24 | 238 | 26 | 117 | 182 | 164 | 52 | 131 | 165 | 130 | 203 | 74 | 213 | 87 | 110 | 33 |
| 152 | 65 | 203 | 140 | 142 | 70 | 145 | 160 | 168 | 15 | 115 | 14 | 69 | 13 | 65 | 249 | 87 |
| 117 | 226 | 234 | 239 | 120 | 39 | 0 | 62 | 28 | 251 | 162 | 23 | 152 | 249 | 98 | 40 | 203 |
| 177 | 19 | 30 | 212 | 175 | 9 | 94 | 127 | 87 | 197 | 21 | 179 | 34 | 155 | 212 | 38 | 251 |
| 242 | 45 | 113 | 194 | 89 | 135 | 161 | 149 | 65 | 85 | 174 | 17 | 86 | 24 | 202 | 77 | 163 |
| 16 | 239 | 133 | 14 | 67 | 5 | 146 | 77 | 236 | 242 | 216 | 87 | 41 | 197 | 206 | 177 | 139 |
| 168 | 130 | 69 | 161 | 227 | 64 | 67 | 38 | 27 | 154 | 231 | 226 | 235 | 121 | 221 | 218 | 48 |
| 138 | 76 | 62 | 92 | 125 | 123 | 62 | 65 | 90 | 81 | 245 | 250 | 153 | 86 | 242 | 68 | 63 |
| 46 | 50 | 219 | 166 | 3 | 226 | 190 | 159 | 136 | 151 | 106 | 138 | 2 | 82 | 152 | 149 | 16 |
| 219 | 206 | 78 | 185 | 97 | 229 | 26 | 247 | 106 | 97 | 164 | 207 | 158 | 252 | 150 | 167 | 9 |
| 179 | 37 | 72 | 146 | 128 | 109 | 112 | 230 | 58 | 98 | 149 | 88 | 85 | 2 | 192 | 33 | 100 |
| 92 | 77 | 12 | 58 | 206 | 92 | 109 | 184 | 187 | 26 | 146 | 121 | 187 | 89 | 70 | 164 | 189 |

Setelah itu, representasi matriks citra digital menjadi seperti pada Gambar 4.2.



Gambar 4. 2 *Ciphertext*

4.3 Dekripsi Citra Digital

Untuk mendekripsi *ciphertext* citra, ubah representasi citra pada Gambar 4.2 menjadi matriks ukuran 16 x17 (sama dengan ukuran *plaintext*). Tempatkan tiap 16 *byte ciphertext* ke dalam 4 buah register *A,B,C*, dan *D* sesuai aturan. Lalu, lakukan langkah *whitening* akhir, *swap* register, transformasi, *mixing*, dan *whitening* awal sesuai Algoritma 3.5. Proses dekripsi terus berlangsung hingga semua blok data *ciphertext* dikembalikan menjadi blok data *plaintext*. Setelah itu, ubah kembali matriks 16 x 17 tersebut menjadi *plaintext* dalam bentuk citra sesuai Gambar 4.1.

4.4 Analisa Hasil Pengujian

Berikut akan dianalisa mengenai hasil pengujian terhadap algoritma RC6 (*running time*) dalam mengamankan citra digital. Analisa dilakukan dengan uji

Universitas Indonesia

coba algoritma terhadap variasi panjang kunci, variasi karakter yang digunakan pada kunci, dan variasi ukuran citra yang digunakan sebagai data uji. Variasi citra yang dipilih adalah 30 citra dengan variasi ukuran *pixel* yaitu citra ukuran 25x25 *pixel*, 50x50 *pixel*, 75x75 *pixel*, 100x100 *pixel*, 125x125 *pixel*, 150x150 *pixel*, 175x175 *pixel*, 200x200 *pixel*, 225x225 *pixel*, 250x250 *pixel*, 275x275 *pixel*, 300x300 *pixel*, 325x325 *pixel*, 350x350 *pixel*, 375x375 *pixel*, 400x400 *pixel*, 425x25 *pixel*, 450x50 *pixel*, 475x475 *pixel*, dan 500x500 *pixel*. Variasi panjang kunci b yang dipilih adalah 16 *byte*, 24 *byte*, dan 32 *byte*, serta variasi karakter yang digunakan pada kunci adalah berupa angka saja, huruf saja, simbol saja, dan kombinasi dari ketiganya.

Variasi *input* kunci pada $b = 16$ *byte*:

- angka (1234567890123456)
- huruf (abcdefghijklmnop)
- simbol (!@#\$%^&*!)@#\$%^)
- kombinasi (12345abcde!@#\$%^).

Variasi *input* kunci pada $b = 24$ *byte*:

- angka (123456789012345678901234)
- huruf (abcdefghijklmnopqrstuvwx)
- simbol (!@#\$%^&*!)@#\$%^&*!)@#\$)
- kombinasi (12345678abcdefgh!@#\$%^&*)

Variasi *input* kunci pada $b = 32$ *byte*:

- angka (1234567890123456123456 7890123456)
- huruf(abcdefghijklmnop abcdefghijklmnop)
- simbol (!@#\$%^&*!)@#\$%^! @#\$%^&*!)@#\$%^)
- kombinasi (12345abcde!@#\$%^12345abcde!@#\$%^)

Spesifikasi komputer yang digunakan untuk menjalankan program RC6 untuk analisa performanya adalah:

1. Sistem Operasi: Microsoft Windows XP Professional 32-bit
2. BIOS: Phoenix BIOS 4.0 Release 6.1
3. Memori RAM 1912 MB
4. Prosesor: Pentium(R) Dual-Core CPU, T4200 @ 2.00 GHz (2 CPUs)

Hasil *running time* dari implementasi program untuk setiap data uji yang digunakan dapat dilihat pada Tabel 4.4 dan Tabel 4.5.

Tabel 4. 4 Waktu Enkripsi (detik) pada Citra dengan Variasi *Input* Kunci, Panjang Kunci *b*, dan Ukuran Citra

| | Variasi kunci <i>input</i> | Variasi panjang kunci <i>b</i> | | |
|---------------|----------------------------|--------------------------------|---------------|---------------|
| | | <i>b</i> = 16 | <i>b</i> = 24 | <i>b</i> = 32 |
| 25 x 25 pixel | Angka | 2,308 | 2,1376 | 2,1435 |
| | Huruf | 2,8052 | 2,3373 | 2,6919 |
| | Simbol | 2,45 | 2,2165 | 2,2998 |
| | Kombinasi | 2,197 | 2,2279 | 2,201 |
| 50 x 50 pixel | Angka | 8,6106 | 8,5915 | 8,6508 |
| | Huruf | 8,9677 | 8,5103 | 8,7761 |
| | Simbol | 8,9179 | 8,6135 | 8,5714 |
| | Kombinasi | 8,5361 | 8,6497 | 8,6497 |
| 75 x 75 pixel | Angka | 19,5 | 19,4681 | 19,9401 |
| | Huruf | 19,7914 | 19,653 | 19,9338 |
| | Simbol | 19,7306 | 19,992 | 19,9502 |
| | Kombinasi | 19,6978 | 19,9524 | 19,7386 |
| 100x100 pixel | Angka | 36,9526 | 35,2297 | 38,1111 |
| | Huruf | 36,4766 | 36,1464 | 36,331 |
| | Simbol | 38,3155 | 37,6163 | 39,3083 |
| | Kombinasi | 37,2464 | 36,9528 | 35,2668 |

Tabel 4.4 Waktu Enkripsi (detik) pada Citra dengan Variasi *Input* Kunci, Panjang Kunci *b*, dan Ukuran Citra

| | Variasi kunci <i>input</i> | Variasi panjang kunci <i>b</i> | | |
|---------------|-------------------------------|--------------------------------|---------------|---------------|
| | | <i>b</i> = 16 | <i>b</i> = 24 | <i>b</i> = 32 |
| 125x125 pixel | Angka | 57,4692 | 58,9734 | 56,9773 |
| | Huruf | 59,9444 | 56,8077 | 56,4271 |
| | Simbol | 56,8628 | 55,4523 | 55,4601 |
| | Kombinasi | 55,9039 | 56,2887 | 56,0552 |
| 150x150 pixel | Angka | 74,7944 | 74,6301 | 74,1712 |
| | Huruf | 74,1868 | 75,1308 | 74,5686 |
| | Simbol | 74,2412 | 74,8716 | 74,6282 |
| | Kombinasi | 74,2431 | 74,0896 | 74,5575 |
| 175x175 pixel | Angka | 102,6714 | 102,7968 | 102,3765 |
| | Huruf | 102,3068 | 102,2299 | 102,3059 |
| | Simbol | 102,2364 | 102,9832 | 102,9832 |
| | Kombinasi | 102,244 | 103,1933 | 102,3844 |
| 200x200 pixel | Angka | 134,0776 | 133,7281 | 134,1127 |
| | Huruf | 133,8762 | 133,2255 | 133,9054 |
| | Simbol | 133,6836 | 133,1791 | 133,5769 |
| | Kombinasi | 132,3971 | 132,9558 | 133,9178 |
| 225x225 pixel | Angka | 169,6141 | 169,5771 | 169,7193 |
| | Huruf | 169,1596 | 169,3002 | 169,6784 |
| | Simbol | 170,0479 | 169,3089 | 169,9783 |
| | Kombinasi | 170,0863 | 170,0133 | 170,0176 |
| 250x250 pixel | Angka | 207,3373 | 211,7862 | 212,2831 |
| | Huruf | 211,801 | 211,1477 | 212,5611 |
| | Simbol | 210,5441 | 210,817 | 211,4314 |
| | Kombinasi | 210,1214 | 211,2812 | 211,4438 |
| 275x275 pixel | Angka | 256,8411 | 256,8631 | 257,315 |
| | Huruf | 255,7756 | 257,3952 | 256,1949 |
| | Simbol | 255,1226 | 255,3372 | 256,8351 |
| | Kombinasi | 254,5617 | 255,8478 | 256,8478 |

Tabel 4.4 Waktu Enkripsi (detik) pada Citra dengan Variasi *Input* Kunci, Panjang Kunci *b*, dan Ukuran Citra

| | Variasi kunci <i>input</i> | Variasi panjang kunci <i>b</i> | | |
|---------------|-------------------------------|--------------------------------|---------------|---------------|
| | | <i>b</i> = 16 | <i>b</i> = 24 | <i>b</i> = 32 |
| 300x300 pixel | Angka | 314,1099 | 315,4361 | 315,1159 |
| | Huruf | 314,7566 | 315,7081 | 315,7682 |
| | Simbol | 314,4305 | 315,4055 | 315,9181 |
| | Kombinasi | 313,0688 | 314,9091 | 315,2158 |
| 325x325 pixel | Angka | 356,5739 | 357,3324 | 357,5701 |
| | Huruf | 357,3851 | 357,1436 | 358,4236 |
| | Simbol | 358,1007 | 357,1994 | 358,985 |
| | Kombinasi | 358,2744 | 357,8315 | 357,7763 |
| 350x350 pixel | Angka | 416,3441 | 416,75 | 416,9667 |
| | Huruf | 416,4954 | 415,1696 | 415,2155 |
| | Simbol | 416,6828 | 418,1021 | 416,7635 |
| | Kombinasi | 416,3866 | 416,8915 | 418,4889 |
| 375x375 pixel | Angka | 478,0098 | 478,8132 | 479,0526 |
| | Huruf | 479,3278 | 476,1696 | 478,5696 |
| | Simbol | 478,9407 | 479,5064 | 477,8614 |
| | Kombinasi | 478,9727 | 479,0108 | 479,5166 |
| 400x400 pixel | Angka | 545,1051 | 546,6631 | 547,7769 |
| | Huruf | 545,9356 | 545,7098 | 546,0811 |
| | Simbol | 546,2709 | 546,0099 | 546,3517 |
| | Kombinasi | 546,0135 | 546,4305 | 546,6764 |
| 425x425 pixel | Angka | 620,075 | 619,2107 | 619,7581 |
| | Huruf | 619,1427 | 619,6649 | 619,9931 |
| | Simbol | 619,2213 | 620,1318 | 620,8506 |
| | Kombinasi | 619,7928 | 619,6952 | 620,0177 |
| 450x450 pixel | Angka | 696,0003 | 695,1916 | 698,2133 |
| | Huruf | 696,2144 | 696,3877 | 698,5679 |
| | Simbol | 696,1258 | 696,3688 | 697,6681 |
| | Kombinasi | 696,4471 | 697,2876 | 697,3045 |

Tabel 4.4 Waktu Enkripsi (detik) pada Citra dengan Variasi *Input* Kunci, Panjang Kunci *b*, dan Ukuran Citra

| | Variasi kunci <i>input</i> | Variasi panjang kunci <i>b</i> | | |
|---------------|-------------------------------|--------------------------------|---------------|---------------|
| | | <i>b</i> = 16 | <i>b</i> = 24 | <i>b</i> = 32 |
| 475x475 pixel | Angka | 779,2787 | 780,0018 | 780,8613 |
| | Huruf | 779,6935 | 779,9029 | 779,9171 |
| | Simbol | 780,8801 | 779,4933 | 780,0033 |
| | Kombinasi | 779,4719 | 779,7618 | 779,9125 |
| 500x500 pixel | Angka | 869,9612 | 871,9775 | 877,0186 |
| | Huruf | 870,6645 | 873,7533 | 877,1949 |
| | Simbol | 870,1059 | 872,1443 | 873,6537 |
| | Kombinasi | 871,8317 | 873,2981 | 873,5523 |
| 525x525 pixel | Angka | 968,4569 | 963,203 | 963,1666 |
| | Huruf | 965,847 | 963,7618 | 963,74 |
| | Simbol | 963,6309 | 963,1679 | 963,3072 |
| | Kombinasi | 962,3365 | 963,8634 | 963,4168 |
| 550x550 pixel | Angka | 1061,5684 | 1063,9332 | 1063,6128 |
| | Huruf | 1060,7789 | 1063,7478 | 1063,79 |
| | Simbol | 1072,6245 | 1063,9599 | 1063,7531 |
| | Kombinasi | 1063,8962 | 1063,7311 | 1063,8007 |
| 575x575 pixel | Angka | 1164,653 | 1171,8206 | 1175,4771 |
| | Huruf | 1177,1858 | 1170,6199 | 1171,5802 |
| | Simbol | 1174,7156 | 1175,2605 | 1175,9319 |
| | Kombinasi | 1175,0549 | 1174,3861 | 1175,5363 |
| 600x600 pixel | Angka | 1286,1532 | 1286,7383 | 1286,93 |
| | Huruf | 1285,5349 | 1286,6116 | 1286,7002 |
| | Simbol | 1284,3042 | 1285,0945 | 1286,4861 |
| | Kombinasi | 1285,1685 | 1286,75 | 1286,3858 |
| 625x625 pixel | Angka | 1402,9079 | 1400,2851 | 1401,4055 |
| | Huruf | 1400,8596 | 1401,3559 | 1402,5231 |
| | Simbol | 1399,9753 | 1402,7148 | 1402,8306 |
| | Kombinasi | 1400,7538 | 1401,5664 | 1402,5771 |

Tabel 4.4 Waktu Enkripsi (detik) pada Citra dengan Variasi *Input* Kunci, Panjang Kunci *b*, dan Ukuran Citra

| | Variasi kunci <i>input</i> | Variasi panjang kunci <i>b</i> | | |
|---------------|-------------------------------|--------------------------------|---------------|---------------|
| | | <i>b</i> = 16 | <i>b</i> = 24 | <i>b</i> = 32 |
| 650x650 pixel | Angka | 1497,6506 | 1500,8577 | 1501,3209 |
| | Huruf | 1594,7286 | 1511,8562 | 1502,8353 |
| | Simbol | 1500,8405 | 1501,4558 | 1501,4308 |
| | Kombinasi | 1512,6103 | 1502,26 | 1500,593 |
| 675x675 pixel | Angka | 1668,3207 | 1661,7513 | 1661,9773 |
| | Huruf | 1660,5948 | 1662,4966 | 1662,5831 |
| | Simbol | 1653,4607 | 1662,2509 | 1664,3053 |
| | Kombinasi | 1662,0951 | 1663,7834 | 1662,8492 |
| 700x700 pixel | Angka | 1733,2157 | 1736,2693 | 1737,7018 |
| | Huruf | 1746,7905 | 1737,4318 | 1739,6365 |
| | Simbol | 1736,1951 | 1736,5824 | 1737,4682 |
| | Kombinasi | 1739,0064 | 1736,2707 | 1736,5451 |
| 725x725 pixel | Angka | 1930,9955 | 1931,2414 | 1930,9371 |
| | Huruf | 1931,1216 | 1931,5608 | 1932,6285 |
| | Simbol | 1930,3455 | 1931,3637 | 1931,8778 |
| | Kombinasi | 1930,6109 | 1932,1685 | 1932,3921 |
| 750x750 pixel | Angka | 2090,8692 | 2091,2141 | 2095,87538 |
| | Huruf | 2096,9059 | 2093,4388 | 2094,5643 |
| | Simbol | 2087,8253 | 2090,3731 | 2091,1712 |
| | Kombinasi | 2091,4505 | 2091,7765 | 2092,8093 |

Tabel 4. 5 Waktu Dekripsi (detik) pada Citra dengan Variasi *Input* Kunci, Panjang Kunci *b*, dan Ukuran Citra

| | Variasi kunci <i>input</i> | Variasi panjang kunci <i>b</i> | | |
|---------------|----------------------------|--------------------------------|---------------|---------------|
| | | <i>b</i> = 16 | <i>b</i> = 24 | <i>b</i> = 32 |
| 25 x 25 pixel | Angka | 1,7254 | 1,8942 | 1,706 |
| | Huruf | 2,1116 | 1,8305 | 2,1343 |
| | Simbol | 1,904 | 1,7561 | 2,144 |
| | Kombinasi | 1,775 | 1,8345 | 1,9638 |
| 50x50 pixel | Angka | 6,9437 | 6,8663 | 7,9397 |
| | Huruf | 6,8994 | 6,9908 | 6,826 |
| | Simbol | 6,8191 | 6,8484 | 6,8759 |
| | Kombinasi | 6,7169 | 6,8351 | 6,9518 |
| 75x75 pixel | Angka | 15,681 | 16,4048 | 15,3843 |
| | Huruf | 15,8311 | 15,6115 | 15,6869 |
| | Simbol | 16,1142 | 15,9926 | 15,5749 |
| | Kombinasi | 16,277 | 15,7342 | 16,0584 |
| 100x100 pixel | Angka | 28,466 | 27,9607 | 28,6216 |
| | Huruf | 29,3288 | 28,7411 | 29,3097 |
| | Simbol | 29,133 | 28,6982 | 28,8853 |
| | Kombinasi | 28,5768 | 28,3197 | 28,3913 |
| 125x125 pixel | Angka | 46,882 | 49,1359 | 45,1376 |
| | Huruf | 49,4866 | 46,979 | 46,077 |
| | Simbol | 45,2427 | 45,3038 | 43,6791 |
| | Kombinasi | 46,4605 | 46,6563 | 46,0175 |
| 150x150 pixel | Angka | 59,9774 | 60,0116 | 59,5245 |
| | Huruf | 59,5829 | 60,0395 | 59,9679 |
| | Simbol | 59,7502 | 60,0858 | 59,8183 |
| | Kombinasi | 59,7686 | 60,0633 | 59,7767 |
| 175x175 pixel | Angka | 82,3545 | 82,0505 | 82,9877 |
| | Huruf | 82,0031 | 81,9058 | 82,0624 |
| | Simbol | 82,1302 | 82,1205 | 82,7069 |
| | Kombinasi | 81,8013 | 82,2347 | 82,3378 |

Tabel 4.5 Waktu Dekripsi (detik) pada Citra dengan Variasi *Input* Kunci, Panjang Kunci *b*, dan Ukuran Citra

| | Variasi kunci <i>input</i> | Variasi panjang kunci <i>b</i> | | |
|---------------|----------------------------|--------------------------------|---------------|---------------|
| | | <i>b</i> = 16 | <i>b</i> = 24 | <i>b</i> = 32 |
| 200x200 pixel | Angka | 107,1433 | 107,3568 | 107,0065 |
| | Huruf | 107,3445 | 107,0614 | 107,7972 |
| | Simbol | 107,2754 | 107,2498 | 107,6167 |
| | Kombinasi | 107,4413 | 106,6054 | 107,7724 |
| 225x225 pixel | Angka | 137,0035 | 137,4217 | 136,3122 |
| | Huruf | 137,4186 | 136,3208 | 136,9874 |
| | Simbol | 136,0071 | 136,1794 | 136,6847 |
| | Kombinasi | 136,3485 | 136,7391 | 136,447 |
| 250x250 pixel | Angka | 166,2359 | 167,1251 | 166,1935 |
| | Huruf | 169,9339 | 169,6132 | 167,2132 |
| | Simbol | 168,0445 | 168,8251 | 169,8722 |
| | Kombinasi | 168,6409 | 168,4358 | 168,1065 |
| 275x275 pixel | Angka | 208,7461 | 205,3749 | 206,515 |
| | Huruf | 207,1198 | 203,5228 | 206,9337 |
| | Simbol | 206,0894 | 204,3933 | 207,6546 |
| | Kombinasi | 205,5912 | 206,1068 | 205,1399 |
| 300x300 pixel | Angka | 262,5241 | 261,1552 | 261,2476 |
| | Huruf | 250,9751 | 263,7413 | 263,8447 |
| | Simbol | 249,9447 | 269,8607 | 259,5238 |
| | Kombinasi | 251,2812 | 260,2221 | 250,9136 |
| 325x325 pixel | Angka | 288,3227 | 289,355 | 287,8678 |
| | Huruf | 289,2837 | 287,4728 | 288,8102 |
| | Simbol | 291,6215 | 286,0899 | 288,3591 |
| | Kombinasi | 290,4246 | 291,9411 | 290,1426 |
| 350x350 pixel | Angka | 334,2995 | 334,3902 | 334,5584 |
| | Huruf | 334,1211 | 333,5873 | 335,7125 |
| | Simbol | 336,5516 | 335,4766 | 334,8531 |
| | Kombinasi | 335,7419 | 334,1964 | 334,1096 |

Tabel 4.5 Waktu Dekripsi (detik) pada Citra dengan Variasi *Input* Kunci, Panjang Kunci *b*, dan Ukuran Citra

| | Variasi kunci <i>input</i> | Variasi panjang kunci <i>b</i> | | |
|-----------------------|----------------------------|--------------------------------|---------------|---------------|
| | | <i>b</i> = 16 | <i>b</i> = 24 | <i>b</i> = 32 |
| 375 x 75 <i>pixel</i> | Angka | 385,7673 | 385,5565 | 386,2141 |
| | Huruf | 386,1147 | 385,4213 | 386,5838 |
| | Simbol | 386,7318 | 396,3758 | 385,5428 |
| | Kombinasi | 386,1215 | 385,4632 | 386,2685 |
| 400x400 <i>pixel</i> | Angka | 440,3417 | 441,1502 | 441,8507 |
| | Huruf | 439,4071 | 438,1966 | 439,4316 |
| | Simbol | 442,7536 | 440,0911 | 439,9665 |
| | Kombinasi | 442,1446 | 439,6524 | 441,1609 |
| 425x455 <i>pixel</i> | Angka | 499,3332 | 499,0511 | 499,6166 |
| | Huruf | 498,1272 | 497,7584 | 497,244 |
| | Simbol | 499,5859 | 499,5121 | 497,5802 |
| | Kombinasi | 499,1761 | 498,6322 | 498,5317 |
| 450x450 <i>pixel</i> | Angka | 566,7408 | 563,7453 | 565,1381 |
| | Huruf | 565,1943 | 565,8133 | 563,8114 |
| | Simbol | 566,2511 | 566,9205 | 564,525 |
| | Kombinasi | 564,95 | 566,4157 | 566,3105 |
| 475x475 <i>pixel</i> | Angka | 629,0034 | 629,7961 | 630,1551 |
| | Huruf | 630,5918 | 631,6878 | 631,9423 |
| | Simbol | 630,2556 | 630,0145 | 629,6188 |
| | Kombinasi | 630,1564 | 631,2395 | 630,4054 |
| 500x500 <i>pixel</i> | Angka | 701,5795 | 703,4724 | 703,60 |
| | Huruf | 700,3945 | 702,9929 | 702,2711 |
| | Simbol | 700,1448 | 703,0713 | 703,1543 |
| | Kombinasi | 701,5303 | 701,8146 | 702,9209 |
| 525x525 <i>pixel</i> | Angka | 784,6559 | 785,145 | 785,7833 |
| | Huruf | 783,9201 | 784,2676 | 785,9685 |
| | Simbol | 783,7048 | 784,6394 | 786,0474 |
| | Kombinasi | 783,0532 | 785,8678 | 785,3162 |

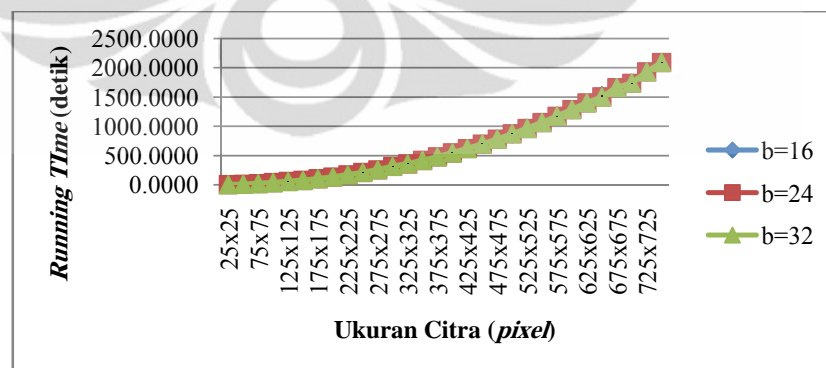
Tabel 4.5 Waktu Dekripsi (detik) pada Citra dengan Variasi *Input* Kunci, Panjang Kunci *b*, dan Ukuran Citra

| | Variasi kunci <i>input</i> | Variasi panjang kunci <i>b</i> | | |
|----------------------|----------------------------|--------------------------------|---------------|---------------|
| | | <i>b</i> = 16 | <i>b</i> = 24 | <i>b</i> = 32 |
| 550x550 <i>pixel</i> | Angka | 861,766 | 862,5306 | 863,1145 |
| | Huruf | 859,2106 | 863,8286 | 864,3906 |
| | Simbol | 868,5048 | 863,2157 | 863,7094 |
| | Kombinasi | 863,97 | 864,0443 | 866,2512 |
| 575x575 <i>pixel</i> | Angka | 945,5854 | 946,4611 | 946,6272 |
| | Huruf | 945,4979 | 946,2059 | 945,1749 |
| | Simbol | 946,271 | 946,3865 | 946,0592 |
| | Kombinasi | 945,7005 | 945,7385 | 946,8301 |
| 600x600 <i>pixel</i> | Angka | 1049,2653 | 1045,7798 | 1046,2106 |
| | Huruf | 1045,8308 | 1045,9413 | 1045,7447 |
| | Simbol | 1040,7605 | 1045,1005 | 1045,3594 |
| | Kombinasi | 1045,6419 | 1046,8241 | 1046,7055 |
| 625x625 <i>pixel</i> | Angka | 1140,7258 | 1145,0317 | 1142,5545 |
| | Huruf | 1140,6602 | 1140,8738 | 1140,8301 |
| | Simbol | 1140,3195 | 1141,1944 | 1141,4126 |
| | Kombinasi | 1140,0947 | 1140,5264 | 1143,2923 |
| 650x650 <i>pixel</i> | Angka | 1235,3813 | 1235,7485 | 1236,6881 |
| | Huruf | 1235,1244 | 1235,5101 | 1236,9014 |
| | Simbol | 1240,0975 | 1235,95 | 1236,7752 |
| | Kombinasi | 1236,8029 | 1236,7288 | 1235,9906 |
| 675x675 <i>pixel</i> | Angka | 1356,5088 | 1351,1742 | 1351,8309 |
| | Huruf | 1350,2704 | 1351,5304 | 1351,7742 |
| | Simbol | 1348,3858 | 1350,9552 | 1351,6835 |
| | Kombinasi | 1351,6944 | 1351,6833 | 1351,935 |
| 700x700 <i>pixel</i> | Angka | 1490,0347 | 1483,3382 | 1483,9678 |
| | Huruf | 1483,414 | 1483,1649 | 1483,7312 |
| | Simbol | 1484,2185 | 1483,0985 | 1483,4764 |
| | Kombinasi | 1483,6937 | 1483,4221 | 1483,8596 |

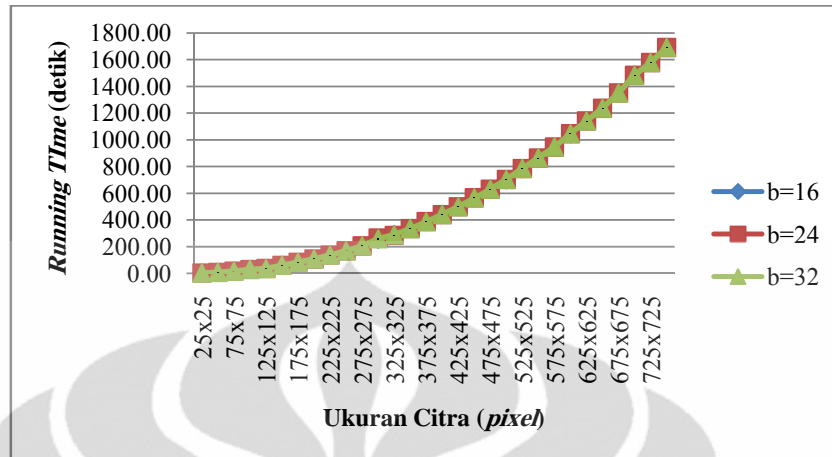
Tabel 4.5 Waktu Dekripsi (detik) pada Citra dengan Variasi *Input* Kunci, Panjang Kunci b , dan Ukuran Citra

| | Variasi kunci <i>input</i> | Variasi panjang kunci b | | |
|------------------------|----------------------------|---------------------------|-----------|-----------|
| | | $b = 16$ | $b = 24$ | $b = 32$ |
| 725 x 725 <i>pixel</i> | Angka | 1578,8462 | 1578,9721 | 1579,736 |
| | Huruf | 1578,7092 | 1579,0435 | 1579,8203 |
| | Simbol | 1577,6331 | 1579,4746 | 1579,5241 |
| | Kombinasi | 1578,1853 | 1578,2892 | 1579,3715 |
| 750x750 <i>pixel</i> | Angka | 1691,3057 | 1692,47 | 1692,8265 |
| | Huruf | 1697,5878 | 1691,63 | 1692,3701 |
| | Simbol | 1691,9258 | 1692,32 | 1692,5463 |
| | Kombinasi | 1690,4173 | 1690,78 | 1692,9387 |

Berdasarkan Tabel 4.4 dan Tabel 4.5 didapat bahwa *running time* dengan variasi ukuran citra memiliki pengaruh yang cukup berarti. Semakin besar ukuran citra, maka semakin besar pula *running time* yang dihasilkan. Untuk lebih jelasnya, perbandingan hasil *running time* enkripsi algoritma RC6 pada variasi panjang kunci dapat dilihat pada Gambar 4.3 dan perbandingan hasil *running time* dekripsi algoritma RC6 pada variasi panjang kunci dapat dilihat pada Gambar 4.4.



Gambar 4.3 Grafik Perbandingan *Running Time* (dalam detik) Algoritma Enkripsi RC6 pada Variasi Panjang Kunci dan Ukuran Citra



Gambar 4. 4 Grafik Perbandingan *Running Time* (dalam detik) Algoritma Dekripsi RC6 pada Variasi Panjang Kunci dan Ukuran Citra

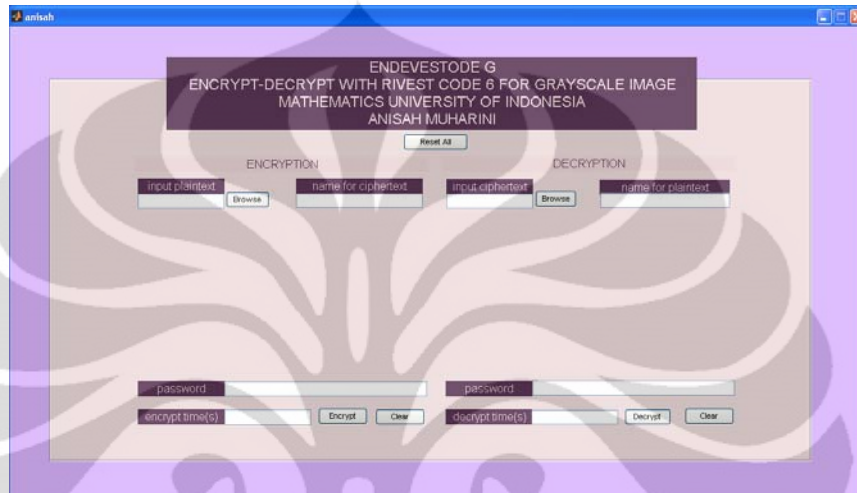
Dari segi variasi panjang kunci dan karakter pada kunci tidak memiliki pengaruh yang berarti terhadap *running time* yang dihasilkan untuk masing-masing ukuran citra yang menjadi data uji. Hal tersebut berarti untuk keamanan lebih baik, pengguna dapat memasukkan kunci dengan panjang maksimum $b = 32$ byte tanpa pengaruh *significant* terhadap *running time* algoritma RC6 (lihat Tabel 4.6). Tabel 4.6 memperlihatkan probabilitas *exhaustive search* terhadap kunci pengguna berupa angka saja, huruf saja, simbol saja, dan kombinasi ketiganya. Tabel 4.6 mengindikasikan bahwa sebaiknya pengguna menggunakan kunci kombinasi dari angka, huruf, dan simbol serta panjang kunci 32 byte untuk keamanan yang lebih baik, selain itu tak ada pengaruh *significant* terhadap *running time* algoritma.

Tabel 4. 6 Probabilitas Serangan *Input* Kunci

| Probabilitas | | Angka saja | Huruf saja | Simbol saja | Kombinasi |
|----------------------------|----------|---------------|---------------|---------------|---------------|
| Banyak Domain | | 10 | 52 | 32 | 94 |
| Panjang kunci b dalam byte | $b = 16$ | $1/(10^{16})$ | $1/(52^{16})$ | $1/(32^{16})$ | $1/(94^{16})$ |
| | $b = 24$ | $1/(10^{24})$ | $1/(52^{24})$ | $1/(32^{24})$ | $1/(94^{24})$ |
| | $b = 32$ | $1/(10^{32})$ | $1/(52^{32})$ | $1/(32^{32})$ | $1/(94^{32})$ |

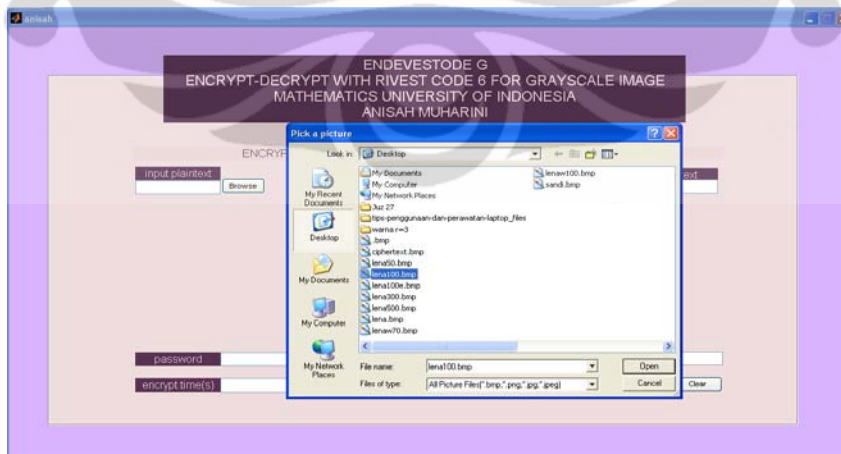
4.4 Pembangunan Program Aplikasi Algoritma RC6

Modifikasi Algoritma RC6 terhadap pengamanan citra digital diimplementasikan pada *software* matlab dengan nama “ENDEVESTODE G” dan tampilan seperti pada Gambar 4.5.



Gambar 4.5 Tampilan Program Enkripsi-Dekripsi Citra Digital dengan Algoritma RC6

Untuk melakukan enkripsi citra digital dengan program ENDEVESTODE G, langkah pertama yang harus dilakukan adalah pilih citra yang akan dienkripsi dengan klik tombol *browse* pada bagian enkripsi (lihat Gambar 4.6).



Gambar 4.6 Tampilan Jendela *Pick a Picture* Enkripsi

Setelah memilih citra yang akan dienkripsi, klik tombol *open* pada jendela *pick a picture* sehingga citra yang akan dienkripsi ditampilkan oleh program seperti pada Gambar 4.7.



Gambar 4. 7 Tampilan *Plaintext* yang akan dienkripsi pada Program

Nama *file* dari *ciphertext* , misalnya “sandi” yang akan dihasilkan dari enkripsi ini, diketik pada kotak *output of ciphertext* (lihat Gambar 4.8)



Gambar 4. 8 Pengetikan Nama *File* dari *Ciphertext* yang akan didapat dari proses Enkripsi

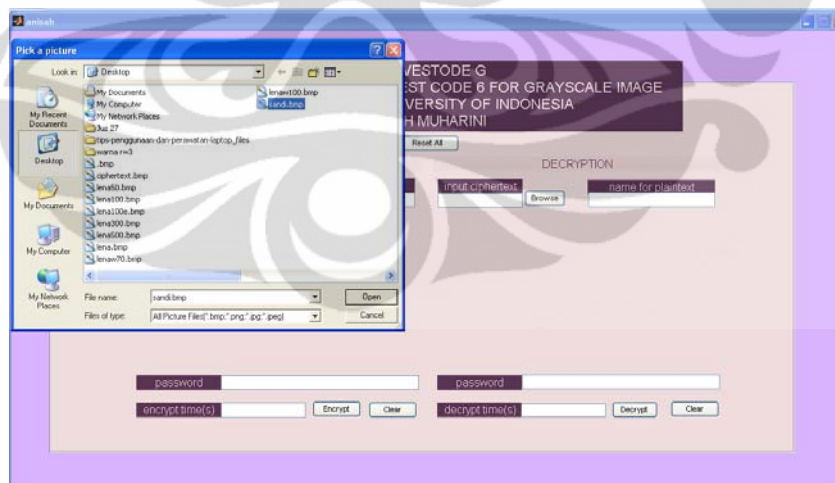
Kemudian, masukkan kunci, misalnya “MATEMATIKA UI” dalam kotak *password*, dan mulai lakukan proses enkripsi dengan klik tombol *Encrypt*. Waktu dalam melakukan proses enkripsi akan muncul pada kotak *encrypt time* saat

enkripsi berhasil dilakukan terhadap *plaintext*. *Ciphertext* akan muncul pada program seperti pada Gambar 4.9.



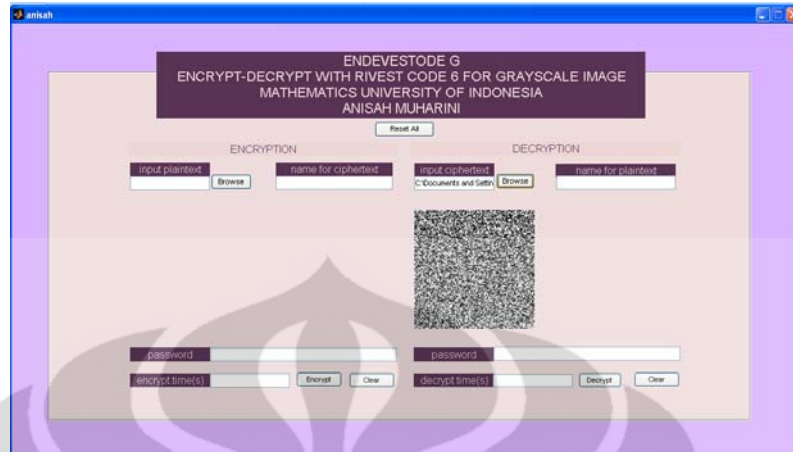
Gambar 4. 9 Tampilan Program sesaat setelah Enkripsi

Sama halnya dengan enkripsi, langkah pertama yang harus dilakukan untuk dekripsi citra digital pada program ENDEVESTODE G adalah dengan memilih citra yang akan didekripsi dengan klik tombol *browse* pada bagian dekripsi. Misal, pilih citra yang sebelumnya telah dienkripsi dan diberi nama “sandi” (lihat Gambar 4.10).



Gambar 4. 10 Tampilan Jendela *Pick a picture* Dekripsi

Setelah memilih citra yang akan didekripsi, klik tombol *open* pada jendela *pick a picture* sehingga citra yang akan didekripsi terlihat seperti pada Gambar 4.11.



Gambar 4. 11 Tampilan *Ciphertext* yang akan dienkripsi

Nama dari *plaintext*, misalnya “hasil” yang akan dihasilkan dari dekripsi ini, diketik pada kotak *output of plaintext* (lihat Gambar 4.12).



Gambar 4. 12 Pengetikan Nama *File* dari *Plaintext* yang akan didapat dari Dekripsi

Kemudian, masukkan kunci dekripsi sama dengan kunci enkripsi, yaitu “MATEMATIKA UI” dalam kotak *password*, dan mulai lakukan proses enkripsi dengan menekan tombol *Decrypt* (lihat Gambar 4.13)



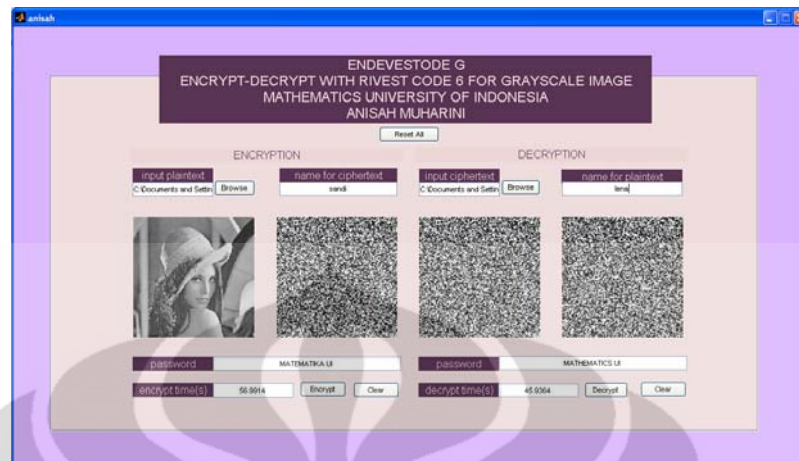
Gambar 4. 13 Tampilan program saat siap melakukan dekripsi

Waktu dalam melakukan proses dekripsi akan muncul pada kotak *decrypt time* saat dekripsi berhasil dilakukan terhadap *ciphertext*. *Ciphertext* akan muncul pada program seperti pada Gambar 4.14.



Gambar 4. 14 Tampilan Program sesaat setelah Dekripsi

Jika kunci yang dimasukkan pada saat dekripsi berbeda dengan pada saat enkripsi, maka *ciphertext* tidak bisa kembali menjadi *plaintext*. Tampilan program saat kunci enkripsi berbeda dengan kunci dekripsi ditampilkan pada Gambar 4.15. Kunci pada saat enkripsi data adalah “MATEMATIKA UI” sedangkan kunci pada dekripsi adalah “MATHEMATICS UI”. Terlihat bahwa *ciphertext* tidak berhasil dikembalikan menjadi *plaintext*.



Gambar 4. 15 Tampilan Program saat Kunci Dekripsi tidak sama dengan Kunci Enkripsi

BAB 5 KESIMPULAN DAN SARAN

5.1 Kesimpulan

Pembahasan pada skripsi ini terkait aplikasi algoritma RC6 dalam pengamanan citra digital dan berdasarkan hasil uji coba yang telah dilakukan didapat beberapa kesimpulan, yaitu:

1. Algoritma RC6 berhasil diaplikasikan untuk pengamanan data dalam bentuk citra digital.
2. Panjang kunci pengguna tidak banyak mempengaruhi *running time* dari algoritma RC6. Untuk itu, pengguna dapat menggunakan kunci dengan panjang maksimum $b = 32$ byte demi keamanan yang lebih baik.
3. Variasi kunci pengguna berupa angka, huruf, maupun simbol tidak banyak mempengaruhi *running time* algoritma RC6. Untuk itu pengguna dapat menggunakan kunci dengan kombinasi dari simbol, angka, dan huruf untuk meningkatkan keamanan.

5.2 Saran

Saran yang perlu diperhatikan terkait penelitian selanjutnya adalah

1. Skripsi ini menggunakan algoritma RC6 untuk pengamanan data citra digital, untuk lebih lanjut dapat gunakan algoritma RC6 ini untuk pengamanan data bentuk lainnya, seperti audio atau video.
2. Skripsi ini mengimplementasikan algoritma RC6 pada *software* matlab, untuk lebih lanjut dapat ambil *software* lain dalam pengimplementasian algoritma RC6 ini.

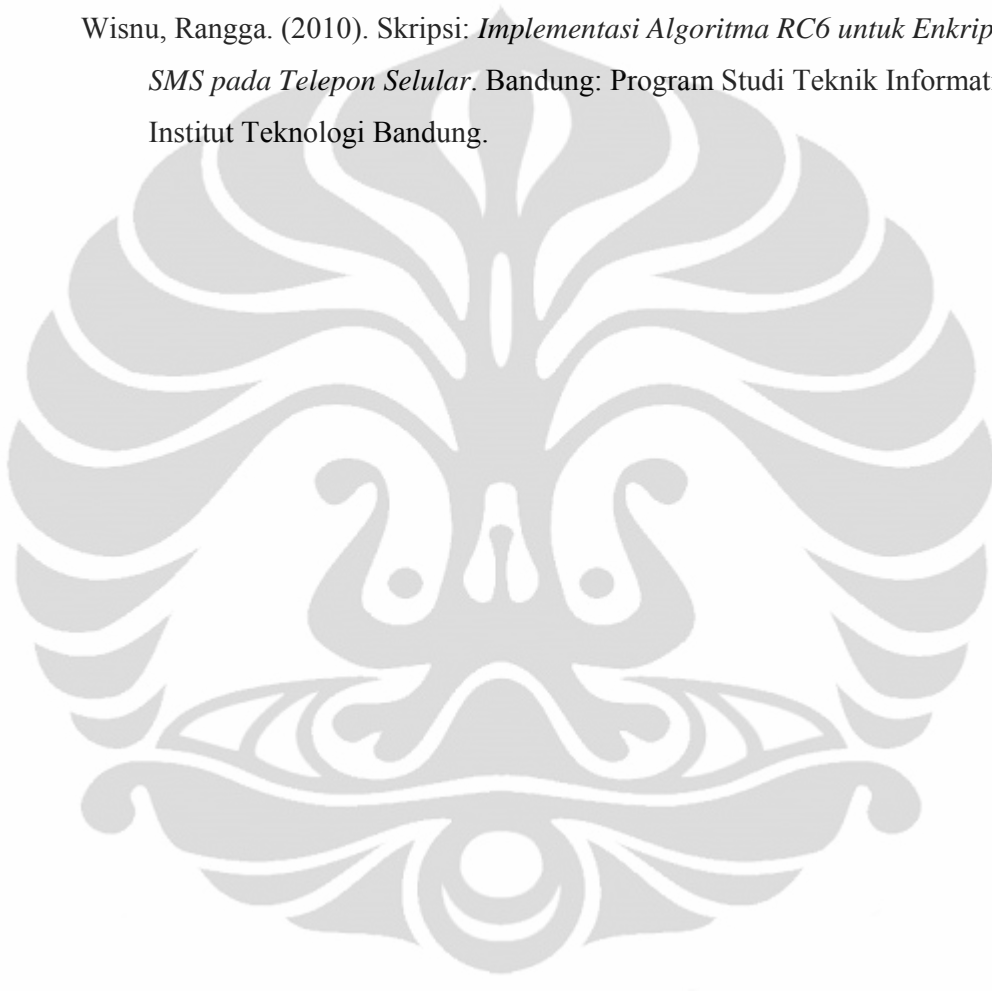
DAFTAR PUSTAKA

- Adiyanto, Suhud. (2003). Skripsi: *Algoritma Enkripsi Serpent pada Mode Cipher Feedback*. Depok: Universitas Indonesia
- Bishop, Matt. (2003). *Computer Security*. Pearson Education
- Contini, S, Rivest, R.L, Robshaw, M.J.B, and Y.L. Yin. (1998). Jurnal: *The Security of the RC6TM Block Cipher*. Dipetik 3 Mei 2012 dari *home page* RSA. Website: <http://www.rsalabs.com/rc6/>
- Herstein, I.N. (1995). *Abstract Algebra*. New Jersey: Prentice-Hall.
- James, H dan Michael, B. (2012). *Concrete Computing*. Version 1.39 2012-05-30
- Made, I Dwi Saputra Jaya. (2002). Skripsi: *Algoritma Enkripsi:RC6*. Depok: Universitas Indonesia
- Munir, Rinaldi. (2004). *Pengolahan Citra Digital dengan Pendekatan Algoritma*. Bandung: Informatika.
- Purnomo, M dan Muntasa, A. (2010). *Konsep Pengolahan Citra Digital dan Ekstraksi Fitur*. Yogyakarta: Graha Ilmu.
- Robshaw. (2001). Jurnal: *RC6 and AES*. Dipetik 3 Mei 2012 dari *home page* RSA. Website:<http://www.rsalabs.com/rc6/>
- Prayudi, Y. dan Halik, I. (2005). Jurnal: *Studi dan Analisis Algoritma Rivest Code 6 dalam Enkripsi/Dekripsi Data*. SNATI:Yogyakarta
- Rivest, R., Robshaw, M., Sidney, R., dan Yin Y.L.(1998). Jurnal: *The RC6 Cipher*. Dipetik 3 Mei 2012 dari *home page* RSA. Website: <http://www.rsalabs.com/rc6/>
- Rosen, Kenneth. (2007). *Discrete Mathematics and Its Applications*. New York: Mc Graw Hill.

Stallings, William. (2005). *Cryptography and Network Security Principles and Practices*. New Jersey: Prentice Hall

Tilberg, van Henk., Jajodia, Sushil. (2011). *Encyclopedia of Cryptography and Security*. Second Ed. New York: Springer Science

Wisnu, Ranga. (2010). Skripsi: *Implementasi Algoritma RC6 untuk Enkripsi SMS pada Telepon Selular*. Bandung: Program Studi Teknik Informatika - Institut Teknologi Bandung.



LAMPIRAN

Lampiran 1 Pembuktian Teorema 2.1 (Herstein, 1995)

Diketahui $f: X \rightarrow Y$ adalah fungsi bijektif, maka berdasarkan Definisi 2.1, maka f 1-1 dan onto.

- f 1-1 berlaku jika dan hanya jika $f(x_1) = f(x_2)$ maka $x_1 = x_2$,
 $\forall x_1, x_2 \in X$
- f onto berlaku $\forall y \in Y, \exists x \in X \ni y = f(x)$

$f: X \rightarrow Y$ bijektif, maka $f^{-1} \circ f = id_Y$ dan $f \circ f^{-1} = id_X$ dengan id_X dan id_Y adalah fungsi identitas dari X dan Y (Herstein, 1995).

Jika $y \in Y$ maka $(f \circ f^{-1})(y) = f(f^{-1}(y)) = f(x) = y$ atau dengan kata lain, $(f \circ f^{-1})(y) = y, \forall y \in Y$ dan jika $x \in X$ maka $(f \circ f^{-1})(x) = f(f^{-1}(x)) = f(y) = x$ dengan kata lain $(f \circ f^{-1})(x) = x, \forall x \in X$

Selanjutnya akan dibuktikan $f^{-1}: Y \rightarrow X$ adalah fungsi 1-1:

Ambil $y_1, y_2 \in Y$ dengan $f^{-1}(y_1) = f^{-1}(y_2)$

$$f(f^{-1}(y_1)) = f(f^{-1}(y_2))$$

$$y_1 = y_2$$

sehingga terbukti $f^{-1}: Y \rightarrow X$ merupakan fungsi 1-1

Selanjutnya akan dibuktikan $f^{-1}: Y \rightarrow X$ adalah fungsi onto:

Ambil $x \in X$, maka $f(x) \in Y$.

Misalkan $y = f(x)$ maka $f^{-1}(y) = f^{-1}(f(x)) = x$

sehingga terbukti $f^{-1}: Y \rightarrow X$ merupakan fungsi onto

Karena $f^{-1}: Y \rightarrow X$ merupakan fungsi 1-1 dan onto maka terbukti $f^{-1}: Y \rightarrow X$ adalah fungsi bijektif.

Lampiran 2 Pembuktian Lemma 2.1 (Herstein, 1995)

Diketahui $g: S \rightarrow T$ dan $f: T \rightarrow U$ adalah fungsi bijektif, maka berdasarkan Definisi 2.1 f dan g merupakan fungsi 1-1 dan *onto*.

Selanjutnya akan dibuktikan $f \circ g: S \rightarrow U$ adalah fungsi 1-1:

Ambil $s_1, s_2 \in S$, dengan $(f \circ g)(s_1) = (f \circ g)(s_2)$

$$f(g(s_1)) = f(g(s_2)) \quad (\text{definisi fungsi komposisi})$$

$$g(s_1) = g(s_2) \quad (f \text{ 1-1})$$

$$s_1 = s_2 \quad (g \text{ 1-1})$$

sehingga terbukti $f \circ g: S \rightarrow U$ merupakan fungsi 1-1

Selanjutnya akan dibuktikan $f \circ g: S \rightarrow U$ adalah fungsi *onto*:

g surjektif maka $\forall t \in T \exists s \in S$ sedemikian sehingga $g(s) = t$

f surjektif maka $\forall u \in U \exists t \in T$ sedemikian sehingga $f(t) = u$

Ambil $u_1 \in U$, karena f maka $\exists t_1 \in T$ sedemikian sehingga $f(t_1) = u_1$

Ambil $t_1 \in T$, karena g surjektif maka $\exists s_1 \in S$ sedemikian sehingga $g(s_1) = t_1$

Maka, $f(g(s_1)) = u_1$

$$f \circ g(s_1) = u_1$$

$\therefore \forall u_1 \in U \exists s_1 \in S$ sedemikian sehingga $f \circ g(s_1) = u_1$, sehingga $f \circ g: S \rightarrow U$

merupakan fungsi yang surjektif.

Karena $f \circ g: S \rightarrow U$ merupakan fungsi 1-1 dan *onto* maka terbukti $f \circ g: S \rightarrow U$ adalah fungsi bijektif.

Lampiran 3 Pembuktian Teorema 2.2 (Herstein, 1995)

Jika $g: S \rightarrow T$ dan $f: T \rightarrow U$ fungsi yang bijektif, maka $(f \circ g)^{-1}$ juga fungsi yang

bijektif dan $(f \circ g)^{-1} = g^{-1} \circ f^{-1}$

Bukti:

Dengan menggunakan Teorema 2.2 yaitu $f \circ g: S \rightarrow U$ fungsi yang bijektif dan Teorema 2.1 yaitu $f^{-1}: U \rightarrow T$ fungsi yang bijektif, maka $(f \circ g)^{-1}: U \rightarrow S$ juga bijektif.

Akan dibuktikan: $(f \circ g)^{-1} = g^{-1} \circ f^{-1}$

$f: T \rightarrow U$ fungsi bijektif, maka menurut Teorema 2.1, $f^{-1}: U \rightarrow T$ juga bijektif.

$g: S \rightarrow T$ fungsi bijektif, maka menurut Teorema 2.1, $g^{-1}: T \rightarrow S$ juga bijektif

$$(f \circ g) \circ (f \circ g)^{-1} = id_U \text{ (} id_U \text{ adalah fungsi identitas di } U \text{)}$$

$$f^{-1} \circ (f \circ g) \circ (f \circ g)^{-1} = f^{-1} \circ id_U$$

$$g \circ (f \circ g)^{-1} = f^{-1}$$

$$(f \circ g)^{-1} = g^{-1} \circ f^{-1}$$

\therefore Terbukti $(f \circ g)^{-1} = g^{-1} \circ f^{-1}$

Lampiran 4 Pembuktian Teorema 2.4 (Stallings, 2005)

Misalkan $a \bmod n = r_a$ dan $b \bmod n = r_b$

Maka $a = r_a + jn$ dan $b = r_b + kn$ dengan $j, k \in \mathbb{Z}$

$$(a + b) \bmod n = (r_a + jn + r_b + kn) \bmod n$$

$$= (r_a + r_b + (j + k)n) \bmod n$$

$$= (r_a + r_b) \bmod n$$

$$= (a \bmod n + b \bmod n) \bmod n$$

$$(a - b) \bmod n = (r_a + jn + (r_b - kn)) \bmod n$$

$$\begin{aligned}
 &= (r_a - r_b + (j - k)n) \bmod n \\
 &= (r_a - r_b) \bmod n \\
 &= (a \bmod n - b \bmod n) \bmod n
 \end{aligned}$$

$$\begin{aligned}
 (axb) \bmod n &= ((r_a + jn)(r_b + kn)) \bmod n \\
 &= (r_a r_b + r_a kn + r_b jn + jnkn) \bmod n \\
 &= (r_a r_b + n(r_a k + r_b j + jkn)) \bmod n \\
 &= (r_a r_b) \bmod n \\
 &= ((a \bmod n) \times (b \bmod n)) \bmod n
 \end{aligned}$$

Lampiran 5 Beberapa potongan *source code* program

```

{pengambilan blok data}

Input: foto
foto1=imread(foto);
[x1 y1]=size(foto1);
a1=x1*y1;
foto2=reshape(foto1,1,a1);
foto3=double(foto2);
a2=ceil(a1/16);
a3=a2*16;
foto4=zeros(1,a3);
for i=1:a1
    foto4(1,i)=foto3(1,i);
end

a4=1;
for i=1:a2
    data(i,1:16)=foto4(1,a4:a4+15);
    a4=a4+16;
end

{key scheduling}

Input: a=kunci, r
[x,y]=size(a);

```

```

%--penempatan kunci pengguna pada array L--
j=1;
for i=1:c
    N(i,:)=fliplr(a(j:j+3));
    j=j+4;
end

```

```

%--inisialisasi kunci pada array S--
S0=zeros(2*r+4,1);
S0(1)=hex2dec('B7E15163');
for i=2:44
    S0(i)=mod(S0(i-1)+hex2dec('9E3779B9'),2^32);
end

```

```

%--kombinasikan L dan S--

```

```

A = 0;
B = 0;
i = 1;
j = 1;
for k = 1:3*(max(c,2*r+4))
    S1(i) = mod(S0(i) + A(i) + B(i),2^32);
    S2(i,:) = dec2bin(S1(i),32);
    S3(i,:) = circshift((S2(i,:)),[0 -3]);
    S4(i,:) = bin2dec(S3(i,:));

    L2=dec2bin(N(j,:),8);
    L3=reshape(L2',1,32);
    L4=bin2dec(L3);
    LL(j,:)=mod(L4 + A(i) + B(i),2^32);
    LLL=dec2bin(LL(j,:),32);

    ges=mod(A(i)+B(i),2^32);
    ges2=dec2bin(ges,32);
    ges3=ges2(28:32);
    ges4=bin2dec(ges3);

    L=circshift(LLL,[0 -ges4]);
    L5(j)=bin2dec(L);

    A(i+1) = S4(i);
    B(i+1) = L5(j);
    i = mod(( i ),2*r+4)+1;
    j = mod(( j ),c)+1;
end

```

```

{Enkripsi}

```

```

for i=1:a2
    %--whitening awal--

    B8=dec2bin(B,8);
    B9=reshape(B8',1,32);

```

```

B2 = dec2bin(mod(bin2dec(B9) + S4(1),2^32),32);

kk7=1;
for kk8=1:8:25
    g(1,kk7)=bin2dec(B2(1,kk8:kk8+7));
    kk7=kk7+1;
end
B=g;

D8=dec2bin(D,8);
D9=reshape(D8',1,32);

D2 = dec2bin(mod(bin2dec(D9) + S4(2),2^32),32);

kk9=1;
for kk10=1:8:25
    gg(1,kk9)=bin2dec(D2(1,kk10:kk10+7));
    kk9=kk9+1;
end
D=gg;

for j = 1:r
    Bi=dec2bin(B,8);
    Bii=reshape(Bi',1,32);
    Bee=bin2dec(Bii);

    p = dec2bin(mod(Bee*(2*Bee+1),2^32),32);
    s = circshift(p,[0 -5]);

    kk1=1;
    for kk=1:8:25
        q(1,kk1)=bin2dec(s(1,kk:kk+7));
        kk1=kk1+1;
    end
    t=q;

    Di=dec2bin(D,8);
    Dii=reshape(Di',1,32);
    Dee=bin2dec(Dii);

    r2= dec2bin(mod(Dee*(2*Dee+1),2^32),32);
    x = circshift(r2,[0 -5]);

    kk2=1;
    for kkk=1:8:25
        qq(1,kk2)=bin2dec(x(1,kkk:kkk+7));
        kk2=kk2+1;
    end
    u=qq;

    tt=dec2bin(t,8);          uu=dec2bin(u,8);
    t3=reshape(tt',1,32);    u3=reshape(uu',1,32);
    t4=t3(28:32);           u4=u3(28:32);
    t5=bin2dec(t4);         u5=bin2dec(u4);

    AA=dec2bin(A,8);        CC=dec2bin(C,8);

```

```

ttt=mod(AA + tt,2);      uuu=mod(CC+uu,2);

e1=zeros(4,1);
for ii=1:4
    for jjj=1:8
        e1(ii)=e1(ii)+ttt(ii,jjj)*2^(8-jjj);
    end
end

e2=zeros(4,1);
for iii=1:4
    for jjjj=1:8
        e2(iii)=e2(iii)+uuu(iii,jjjj)*2^(8-jjjj);
    end
end

A=reshape(e1,1,4);      C=reshape(e2,1,4);

d=dec2bin(A,8);
dd=reshape(d',1,32);

A=circshift(dd,[0 -t5]);

kk3=1;
for kkkk=1:8:25
    q2(1,kk3)=bin2dec(A(1,kkkk:kkkk+7));
    kk3=kk3+1;
end
AAAAA=q2;

e=dec2bin(C,8);
ee=reshape(e',1,32);

C=circshift(ee,[0 -u5]);

kk4=1;
for k5=1:8:25
    qq2(1,kk4)=bin2dec(C(1,k5:k5+7));
    kk4=kk4+1;
end
CCCCC=qq2;

A6=dec2bin(AAAAA,8);
AA6=reshape(A6',1,32);
AA7=bin2dec(AA6);
C6=dec2bin(CCCCC,8);
CC6=reshape(C6',1,32);
CC7=bin2dec(CC6);

A=dec2bin(mod(AA7+S4(2*j+1),2^32),32);
C=dec2bin(mod(CC7+S4(2*j+2),2^32),32);

kk7to=1;
for kk8to=1:8:25
    gto(1,kk7to)=bin2dec(A(1,kk8to:kk8to+7));

```

```

        kk7to=kk7to+1;
    end
    A=gto;

    kk9to=1;
    for kk10to=1:8:25
        ggto(1,kk9to)=bin2dec(C(1,kk10to:kk10to+7));
        kk9to=kk9to+1;
    end
    C=ggto;

    %--swap register--
    B=A;
    C=B;
    D=C;
    A=D;
end

%--whitening akhir--
A7=dec2bin(A,8);
A=reshape(A7',1,32);
C7=dec2bin(C,8);
C=reshape(C7',1,32);

A2 = dec2bin(mod(bin2dec(A) + S4(2*r+3),2^32),32);

kk70=1;
for kk80=1:8:25
    g3(1,kk70)=bin2dec(A2(1,kk80:kk80+7));
    kk70=kk70+1;
end

C2 = dec2bin(mod(bin2dec(C) + S4(2*r+4),2^32),32);

kk90=1;
for kk100=1:8:25
    gg3(1,kk90)=bin2dec(C2(1,kk100:kk100+7));
    kk90=kk90+1;
end
end
end

```